Naturwissenschaftlicher Verein für das Fürstentum Lüneburg von 1851 e. V.

Jahrbuch

Band 48



Herausgeber:

Andreas Fichtner, Werner Härdtle & Johannes Prüter

Satz und Lektorat: Sabine Arendt, lektorat@sabinearendt.org

Titelfoto: Gerhard Stein

Designvorlagen: borowiakzieheKG Druck: VARIOPAPER, Lüneburg



© 2021

Naturwissenschaftlicher Verein für das Fürstentum Lüneburg von 1851 e. V. Wandrahmstraße 10 21335 Lüneburg http://www.naturwissenschaftlicher-verein-lueneburg.de

ISSN: 0340-4374

Inhalt

Vorwort	5
Nachruf Prof. Dr. Kurt Horst †	7
Detlef Schumacher & Gerhard Stein	
Scaphopoden aus der Kreide und dem Neogen von Lüneburg	11
Gerhard Stein, Detlef Schumacher & Herbert Moths	
Die Molluskenfauna des großen Sandstein-Geschiebes aus Neetze im Museum Lüneburg	33
Petra Fischer, Henning Kaiser, Jann Wübbenhorst & Gunnar W	aesch
Langjähriges vegetationsökologisches Grünlandmonitoring im Biosphärenreservat "Niedersächsische Elbtalaue"	97
Manfred Bathke & Ortrun Schwarzer	
Nährstoffgehalte und saisonale Grundwasserganglinien auf Brenndolden- Auenwiesen im Biosphärenreservat "Niedersächsische Elbtalaue"	133
Bennet Buhrke, Werner Härdtle & Johannes Prüter	
Gehölzetablierung in Buhnenfeldern des Biosphärenreservats "Niedersächsis Elbtalaue" – Eine Analyse wichtiger Prädiktoren	che 155
Studienfahrten 2018 bis 2020	173
Vorträge und Kolloquien in den Wintersemestern	
2018/19 bis 2020/21	175

Vorwort

Von fossilen Molluskenvorkommen in erdgeschichtlichen Ablagerungen in und bei Lüneburg bis hin zur rezenten Vegetation der nahe gelegenen Elbauen, ihren augenblicklichen Standortverhältnissen und ihren Veränderungen – die Beiträge in diesem Band 48 unseres Jahrbuchs spannen einen sehr weiten inhaltlichen Bogen. Dieser Bogen repräsentiert und trifft aber zweifellos wesentliche Eckpunkte des breiten Spektrums regionaler Naturkunde, wie sie seit nunmehr 170 Jahren von den Mitgliedern des Naturwissenschaftlichen Vereins in Lüneburg mit verschiedensten fachlichen Ansätzen betrieben, unterstützt und Interessierten zur Kenntnis gegeben wird.

So unterschiedlich die Inhalte dieses Bandes, deren Bearbeitung und Darstellung auch sein mögen, so verbindet sie doch das zentrale Thema der "Biologischen Vielfalt". Es ist faszinierend, wie versteinerte Zeitzeugen gedeutet werden können, wie einem mit entsprechender Sachkunde ganze Lebensgemeinschaften der Frühzeit lebendig vor Augen geführt werden. Man spürt ehrfürchtig und versteht vielleicht, wie Biologische Vielfalt sich über Jahrmillionen allein den Naturgesetzen gehorchend und ohne jedes menschliche Zutun entwickelt hat.

Umso bedrückender erscheint es mitunter, dass dieses Thema heute kaum noch unbelastet als wertfreies Phänomen behandelt werden kann, sondern dass es (fast) immer einhergeht mit dem Blick auf die Bedeutung für und die Belastung durch den Menschen.

Besonders augenfällig werden diese Bezüge bei kulturabhängigen Ökosystemen wie den so besonders artenreichen bunten Stromtalwiesen. Sie sind "vor Kurzem" im Zuge menschlichen Wirtschaftens entstanden und laufen nun Gefahr, im Zuge des heutigen Wirtschaftens ihre Vielfalt, Eigenart und Schönheit wieder zu verlieren.

Mahnende Worte zu solchem Wandel gibt es viele und sind täglich zu vernehmen, auf örtlicher wie auf globaler Ebene.

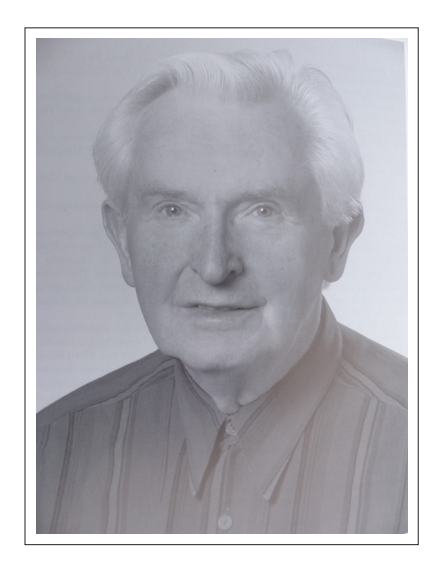
Wandel hat es im Laufe der Erdgeschichte immer gegeben. Das führen uns die paläontologischen Befunde aus dem Meeresboden im Raum des heutigen Lüneburgs sehr plastisch vor Augen. Wandel ist Inbegriff der Naturgeschichte, aller evolutiven Prozesse. Doch diese Einsicht darf nicht Anlass geben, den heute zu beobachtenden rasanten Wandel mit all seinen negativen Konsequenzen zu relativieren. Er hat andere Ursachen, eine zerstörerische Dynamik und birgt bekanntermaßen Gefahren für uns selbst.

In diesem Sinne hoffen wir, mit diesem neuen Jahrbuch einen weiteren kleinen regionalen Beitrag leisten zu können zum Verständnis der Phänomene Biologischer Vielfalt und ihrer vielfältigen Abhängigkeiten – früher wie heute.

Die Herausgeber

Nachruf Prof. Dr. Kurt Horst †

Am 21. September 2020 ist Prof. Dr. Kurt Horst, Initiator und langjähriger Leiter des Naturmuseums Lüneburg, im Alter von 92 Jahren gestorben. Über Jahrzehnte hat er die Arbeit des Naturwissenschaftlichen Vereins in Lüneburg mit seiner enthusiastischen Schaffenskraft und großer Fachkunde geprägt und ihm mit dem Naturmuseum in der Salzstraße von 1990 bis 2010 eine Heimstatt gegeben. Hier schuf er ein lebendiges Zentrum für naturkundliche Bildung, Forschung und Dokumentation, gern aufgesucht von Bewohnern, Schülergruppen und Gästen Lüneburgs. Überdies wurde das Museum zu einer allseits geschätzten, inspirierenden, gern angenommenen Begegnungsstätte für die Mitglieder unseres Vereins.



Kurt Horst wurde am 3. März 1928 in Kade im

damaligen Bezirk Magdeburg geboren. Schulzeit und erste Schritte in Richtung auf den von Beginn an angestrebten Lehrerberuf fielen in die Kriegs- und Nachkriegszeit. Er studierte zunächst in Halle/Saale, unterrichtete an der Oberschule in Genthin, bis er im Frühjahr 1956 die damalige DDR in Richtung Hessen verließ. An der Universität Frankfurt/Main schloss er ein ergänzendes Studium der Schwerpunktfächer Biologie und Geographie mit der Erweiterungsprüfung für das Lehramt an höheren Schulen ab.

Wegweisend für sein späteres berufliches und ehrenamtliches Wirken in Lüneburg war die Zeit als Doktorand am Staatsinstitut für Allgemeine Botanik der Universität Hamburg, die er von August 1959 bis Oktober 1961 mit Felduntersuchungen im Naturschutzgebiet Lüneburger Heide verbrachte. Von seiner Zeit in Niederhaverbeck hat er gern und oft berichtet. Untersuchungen zum Thema "Klima und Bodenfaktoren in Zwergstrauch- und Waldgesellschaften des Naturschutzparks Lüneburger Heide" beendete er mit der Promotion 1962. Seine Sachkunde, die besonderen didaktischen Fähigkeiten und seine begeisternde Art, naturkundliche Zusammen-

hänge zu vermitteln, waren aufgefallen und gaben Anlass, ihn 1965 aus seiner Lehrertätigkeit an Gymnasien in Kassel an die damalige Pädagogische Hochschule Niedersachsen, Abt. Lüneburg als Professor für Biologie sowie Didaktik und Methodik des Faches zu berufen. Über fast drei Jahrzehnte bis zum Eintritt in den Ruhestand 1993 hat er dort und später an der Universität Lüneburg den vielen Studierenden Freude am Lebendigen vermittelt und damit manch eine prägende Spur für deren weiteres Tun hinterlassen.

Schon in den frühen 1980er-Jahren arbeitete er im Rahmen seiner Mitwirkung im Vorstand des Naturwissenschaftlichen Vereins an einem "Konzept für die Wiederbegründung eines Naturmuseums in Lüneburg", das die Verantwortlichen in der Stadt Lüneburg überzeugte. Nachdem die Träger der Sammlungen zu Jagd und Geschichte Ostpreußens 1987 in den Neubau an der Ritterstraße umgezogen waren und das Haus an der Salzstraße freigeräumt hatten, konnte die Stadt dieses Gebäude dem Naturwissenschaftlichen Verein zur Verfügung stellen. Nun gab es Raum und Perspektiven, sodass die konzeptionellen Ideen Gestalt annehmen konnten.

Ein enormes Arbeitspensum stand an. Kurt Horst gelang es mit seiner unermüdlichen Geschäftigkeit und seiner inspirierenden Art, ein großes Team ehrenamtlich Mitwirkender um sich zu scharen. Nur so konnten all die Arbeiten, die mit dem Aufbau des Museums einhergingen, bewältigt werden: Einwerbung von Fördergeldern, Einrichtung und Betreuung von Projektstellen, praktische Baumaßnahmen und schließlich die Ausstellungsgestaltung. Schon 1990 wurde das Naturmuseum für Besucherinnen und Besucher zugänglich, im Herbst 1992 dann offiziell eröffnet. Im Zuge dieser Arbeiten entwickelte Kurt Horst auch das Logo für den Naturwissenschaftlichen Verein, das die Sphären der Natur symbolisch zusammenführt. Es erscheint seither auf allen Verlautbarungen des Vereins und erinnert damit auch an sein Lebenswerk.

Die von Kurt Horst entwickelten konzeptionellen Grundlagen hat er in seinem Beitrag "Das neue Naturmuseum Lüneburg – Haus für Natur und Umwelt" ausführlich dargelegt, erschienen in unserem Jahrbuch, Band 39, 1992. Das so konzipierte Naturmuseum hat 20 Jahre bestanden und wurde dann in das neue Museum Lüneburg überführt. Aufbau und Betrieb des Naturmuseums wurden von Wolfgang Gentsch rückblickend 2011 in einem Sonderheft des Naturwissenschaftlichen Vereins sehr lebendig dokumentiert.

Die Hansestadt Lüneburg und der Naturwissenschaftliche Verein haben von Kurt Horsts einzigartiger Leistung, als ehrenamtlich tätiger Museumsdirektor ein weit über die Grenzen Lüneburgs hinaus wahrgenommenes Museum zu gestalten und zu leiten, in hohem Maße profitiert. Im Jahr 2007, rund 15 Jahre nach seiner Pensionierung, trat Kurt Horst dann auch aus der ehrenamtlichen Museumsleitung zurück. Dass ihm im letzten Jahrzehnt seines Lebens wegen seiner Erkrankung so viel an Erinnerung an sein eigenes Schaffen verloren ging, ist traurig. Doch manche Würdigung seines Lebenswerks hat er noch aktiv und freudig spüren und miterleben dürfen, bei vielen Veranstaltungen im Naturmuseum, anlässlich der Verleihung des Bundesverdienstkreuzes im Rathaus im Jahr 2002 oder bei der Feier in der Leuphana Universität Lüneburg zum Abschied aus der ehrenamtlich wahrgenommenen Museumsleitung im Jahr 2007 und schließlich auch auf den ersten Schritten auf dem Weg zu einem hauptamtlich geführten Museum Lüneburg.

Wir alle im Naturwissenschaftlichen Vereins wissen, was wir unserem Prof. Horst zu verdanken haben und erinnern uns seiner in großer Dankbarkeit.

Johannes Prüter und Werner Härdtle im Namen der Mitglieder und des Vorstands des Naturwissenschaftlichen Vereins

Die Molluskenfauna des großen Sandstein-Geschiebes aus Neetze im Museum Lüneburg

Gerhard Stein, Detlef Schumacher und Herbert Moths

Schlüsselwörter:

Geschiebe; Saale-Vereisung; Vierlandium; Nordseebecken; Museum Lüneburg; Gastropoden; Scaphopoden; Polyplacophoren; Bivalven.

Zusammenfassung

1992 berichteten Moths et al. über die in einem 1987 in Neetze (Kreis Lüneburg) gefundenen großen Sandsteingeschiebe enthaltenen Molluskenschalen. Die Molluskenarten dieses Geschiebes, welches heute im Museum Lüneburg ausgestellt ist, werden in revidierter und ergänzter Form aufgelistet sowie abgebildet. Die auf Mollusken basierte stratigraphische Einordnung des Geschiebes in das Vierlandium wird bestätigt und auf das basale Vierlandium (= Aquitanium, Miozän, Neogen) präzisiert.

Keywords:

glacial erratic boulder; Saale glacial period; Vierlandian regional stage; North Sea Basin; Museum Lüneburg; Gastropods; Scaphopods; Polyplacophorans; Bivalves.

Abstract

The mollusc fauna of the glacially transported sandstone boulder from Neetze in the Museum Lüneburg.

In 1992, Moths et al. reported on the mollusc shells contained in a large glacially transported sandstone boulder found in Neetze (district of Lüneburg) in 1987. The mollusc species of this boulder, which is exhibited today in the Museum Lüneburg, are listed in revised and supplemented form, and pictured. The mollusc-based stratigraphic assignment of the sandstone boulder into the Vierlandian is confirmed and more accurately assigned to the basal Vierlandian (= Aquitanian, Miocene, Neogene).

Einleitung

Während der Arbeiten einem Sandabbau unmittelbar südlich der Ortschaft Neetze nahe Bleckede im Landkreis Lüneburg wurde im Frühjahr 1987 ein großes Sandstein-Geschiebe gefunden. In der maximalen Ausdehnung durchzog eine beidseitig gut begrenzte Lage mit zum großen Teil doppelklappig vorliegenden Glycymeris-Schalen in dichter Packung den Stein. Bei der Bergung zerbrach der Block entlang dieser Fossillage in zwei Teile. Beide Teilstücke wurden dann zunächst auf einem Hof in Neetze deponiert (Moths et al., 1992) (Abb, 1-2).

Gemeldet wurde der Fund dem Lüneburger Bezirksarchäologen Jan-Joost Assendorp, durch dessen Vermittlung die Stücke in den Besitz und das Eigentum des Naturwissenschaftlichen Vereins in Lüneburg gelangten, der zu jener Zeit mit dem Einrichten eines eigenen Museums beschäftigt war. In die Ausstellung des neuen Naturmuseums aufgenommen werden konnte aber aus Gründen der Gebäude-Statik nur das kleinere der beiden Teilstücke mit der 128 x 91 cm messenden Schaufläche.

Das größere Stück mit seinen beachtlichen Maßen von 180 x 120 x 50 cm wurde dem am Ausstellungsaufbau beteiligten Mitglied des Naturwissenschaftlichen Vereins Peter Laging überlassen, der für eine sachgerechte und sichere Aufbewahrung und Ausstellung des Steines in

der Realschule Scharnebeck sorgte, wo er von 1987 bis 2010 verblieb. Im Zuge einer Umstrukturierung der Scharnebecker Schulen musste das Geschiebestück dann 2011 im Gemeinde-Betriebshof und ab dem Juli 2013 in den Stallungen eines Bauernhofes in Scharnebeck deponiert werden (COENEN-STAß, 2017).

Das Naturmuseum Lüneburg schloss Ende 2010 seine Ausstellungen. Im März 2015 wurde das neue Museum Lüneburg als Zusammenschluss ehemaligen Naturmuseums und des Museums für das Fürstentum Lüneburg sowie der Stadtarchäologie eröffnet. Zu den Exponaten dieses Museums gehören nun auch die beiden Teile des Sandstein-Geschiebes aus Neetze. Das ehemals in der Realschule Scharnebeck gezeigte größere Stück findet sich im der regionalen Geologie gewidmeten ersten Raum des Museumsrundgangs und das zuvor im Naturmuseum ausgestellte kleinere Stück im nicht uneingeschränkt zugänglichen Bereich des Einganges Wandrahmstraße.

Wie und von wem die erste Ansprache des Geschiebes aus Neetze als "Glycymeris-Sandstein des Reinbekiums" aufkam, lässt sich nicht mehr feststellen. Erstaunlich ist aber, wie hartnäckig sich diese Einschätzung hielt, ebenso wie andere irrige Angaben, die sich zum Teil auch noch in den Begleittexten des im Naturmuseum ausgestellten Stückes fanden (COENEN-STAß, 2017). Bereits 1992 hat-

ten Moths et al. aufgrund der Mollusken-Fauna in einem Beitrag im Jahrbuch des Naturwissenschaftlichen Vereins in Lüneburg das Geschiebe in das Vierlandium gestellt, die Fauna weitgehend erfasst und in Listenform zugänglich gemacht. Beachtung fand diese Arbeit und deren Ergebnisse zwar beispielsweise in einer geschiebekundlichen Übersicht aus Schwerin (Schulz, 2003: S. 427), nicht aber in Lüneburg selbst.

Während der Aufnahmen zu einer Video-Dokumentation zur Geschichte des Neetzer Geschiebes (Coenen-Staß, 2017) und den damit verbundenen Diskussionen entstand, angeregt durch die Kuratorin des Museums Lüneburg, Christina Broesike, die Überlegung, die Molluskenfauna erneut zu bearbeiten, ausführlich darzustellen und auszuwerten.

Das Material, welches auch schon der Arbeit von Moths et al. (1992) als Grundlage diente, ist in den Sammlungen Schumacher (DSB) und Stein (GSL) vollumfänglich vorhanden. Gewonnen wurde es aus dem während der Bergung des Geschiebes und dessen erster Zwischenlagerung in Neetze reichlich abgefallenen und geborgenen Gesteinsgrus (Abb. 2).

Übernommen werden folgende Angaben zu dem Sandstein-Geschiebe aus Neetze von Laging in Coenen-Staß (2017):

Herkunft: Nahgeschiebe, aus einer östlich [oder nordöstlich] gelegenen Salzstruktur stammend. [Die Größe und die Beschaffenheit des Geschiebes schließen einen weiten Transportweg als wenig wahrscheinlich aus.]

Glazialer Transport: durch den Warthe-Vorstoß der Saale-Vereisung.

Gesteinszusammensetzung: ungeschichteter feinkörniger Sand mit calcitischem Bindemittel [gleichkörnig; es wurden keine größeren Komponenten beobachtet]. Geringe Gehalte an Glimmer und Glaukonit sind vorhanden.

Bildungsmilieu: im Zusammenhang erhaltene Glycymeris-Schalen und die vollkommene Abwesenheit von abgerollten Schalen und Schalentrümmern weisen auf einen Bildungsraum hin, der tief genug lag, um der Wasserbewegung durch Sturmereignisse weitgehend entzogen zu sein. Mutmaßlich führte dann aber doch eine wodurch auch immer ausgelöste und ausnehmend starke Wasserbewegung zur vollständigen Verschüttung des Lebensraumes der vorliegenden Fossilgesellschaft.

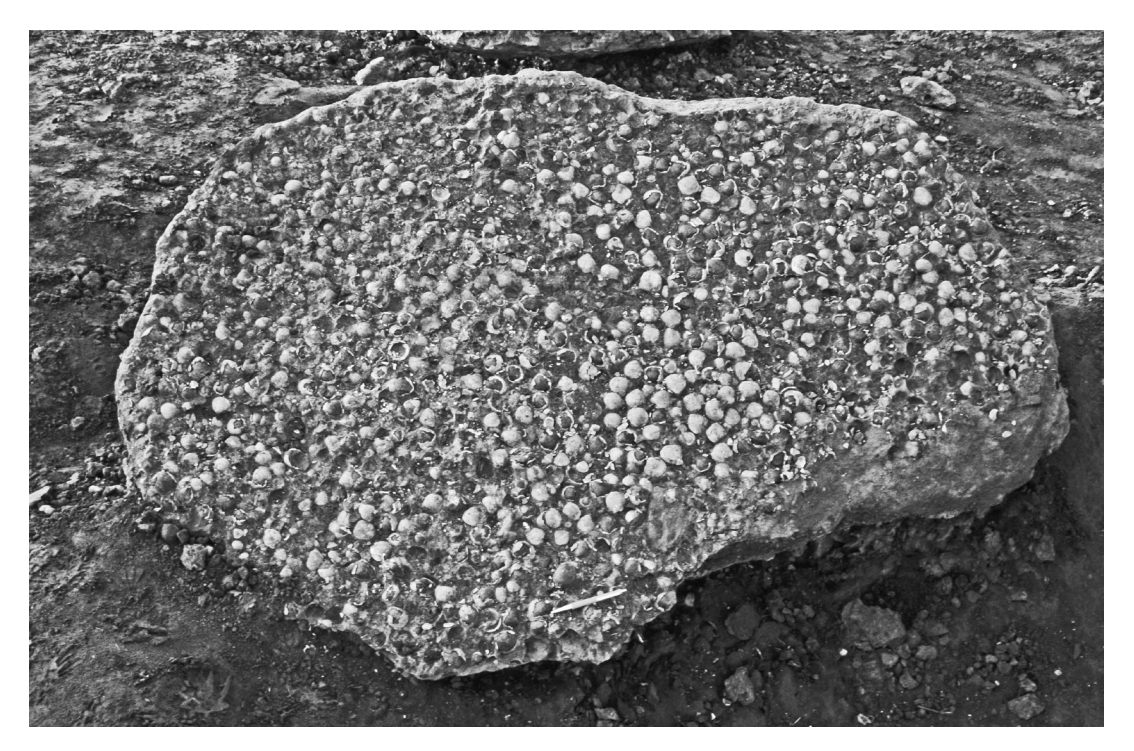


Abb. 1: Das größere Teilstück des Geschiebes nach der Bergung in Neetze. Maße: 180 x 120 x 50 cm.



Abb. 3: Das größere Teilstück des Geschiebes aus Neetze in der Ausstellung des Museums Lüneburg.



Abb. 2: Das kleinere Teilstück des Geschiebes. Maße: 128 x 91 x 30 cm. Auf beiden Stücken (Abb. 1 und 2) liegt ein Kugelschreiber zum Größenvergleich.



Abb. 4: Das ehemals im Naturmuseum ausgestellte kleinere Teilstück des Geschiebes aus Neetze im Eingangsbereich "Wandrahmstraße" des Museums Lüneburg.

Systematischer Teil

Auf die Angabe der hierarchischen Ränge oberhalb der Familie (mit Ausnahme der Klasse und der Unterklasse) sowie der Unterfamilie wird verzichtet. Die Anordnung der Bivalvia erfolgt nach Bieler *et al.*, 2010, der Scaphopoda nach Steiner & Kabat, 2001 und der Gastropoda nach Bouchet *et al.*, 2017.

Die Synonymie beschränkt sich bei als gesichert erachteten Arten auf die jeweilige Originalbeschreibung, die Bezeichnung in Moths *et al.* (1992) sowie auf Arbeiten, auf welche im jeweiligen Text Bezug genommen wird.

Die Materialmenge, die in den Sammlungen (Slg. NVL (Naturwissenschaftlicher Verein Lüneburg), DSB (Schumacher) und GSL (Stein)) vorhanden ist, wird angegeben (Ex. = Exemplar, bei Bivalven: beide Klappen im Zusammenhang; Kl. = Klappe), wobei die Stücke teilweise auch

sehr fragmentarisch (Frag.) erhalten sein können. Es folgt die Angabe der bisher bekannten stratigraphischen Reichweite bei den bis auf Artniveau determinierten Formen

Ausführliche Beschreibungen der im Folgenden vorgestellten Arten werden nicht gegeben, Hinweise erfolgen aber, soweit erforderlich, zu Besonderheiten des Materials und zur Begründung der Zuordnungen.

Die aktuelle Artenzahl ist höher als bei Moths et al. (1992) angegeben und aufgelistet, da zur Zeit jener Publikation noch nicht das gesamte geborgene Material bearbeitet war. Andererseits erschienen in der 1992 gegebenen Liste 2 Arten (Erato germanica Schilder, 1929 und Crassispira?), die nicht auffindbar (bzw. zuzuordnen?) sind, obgleich das gesamte seinerzeit verwendete Material noch verfügbar ist.

Phylum Mollusca Cuvier, 1797 Classis **Bivalvia** Linnæus, 1758

> Bivalvia indet. Taf. 6, Fig. 2–3

3 Kl. Slg. NVL.

Die Ornamentierung besteht aus feinen und schmalen radialen Rippen, die auf den drei vorliegenden Klappen in variabler Dichte vorhanden sind. Die konzentrische Skulptur verleiht den radialen Rippen bereichsweise ein "geperltes" Aussehen. Die Außenseiten der Klappen ähneln einigen Vertretern der Limopsidae Dall, 1895, die an einer Klappe leider nur unzulänglich erhaltenen Reste des Schlosses (Taf. 6, Fig. 3) widersprechen aber der Zuordnung zu den Pteriomorpha Beurlen, 1944.

Subclassis Protobranchia Pelseneer, 1889 Familia Nuculidae Gray, 1824 Genus *Nucula* Lamarck, 1799

Typusart: Arca nucleus Linnæus, 1758

Nucula sp. 1Taf. 1, Fig. 1; Taf. 2, Fig. 2

1992 Nucula sp. – Мотнs et al.: 169.

2 Kl. Slg. NVL; 1 Kl. Slg. DSB.

Hinterrand und Unterrand der Klappen gehen gerundet ineinander über und bilden keine Ecke, wie bei *Nucula* sp. 2.

Nucula sp. 2 Taf. 2, Fig. 1

?1959 *Nucula (Nucula) nucleus* (Linné 1758) – Anderson: 68, Taf. 13, Fig. 1a–c (*non* Linnæus, 1758).

1 Ex. und 1 Kl. Slg. NVL; 1 Kl. Slg. DSB.

Genus Ennucula Iredale, 1931

Typusart: Nucula obliqua Lamarck, 1819

Ennucula sp. Taf. 2, Fig. 3

1 Kl. Slg. NVL.

Es liegt der Steinkern mit der inneren perlmuttrigen Lage einer rechte Klappe vor, der möglicherweise zur oligozänen Art *Ennucula peregrina* (Deshayes, 1858) gehört.

Familia Nuculanidae H. Adams & A. Adams, 1858 Genus Saccella Woodring, 1925

Typusart: Arca fragilis Deshayes, 1858

Saccella westendorpii (Nyst in Nyst & Westendorp, 1839) Taf. 1, Fig. 2

- 1839 Trigonocælia Westendorpii Nyst; Nyst in Nyst & Westendorp: 405, Taf. 2, Fig. 17a-c.
- 1992 Nuculana (Saccella) westendorpi (NYST, 1839) Moths et al.: 169.
- 2 Kl. Slg. DSB; 1 Kl. Slg. GSL. Spätes Unteroligozän bis Mittelmiozän.

Familia Yoldiidae Dall, 1908 Genus *Yoldia* Möller, 1842

Typusart: Yoldia hyperborea Torrell, 1859

Yoldia glaberrima (Münster in Goldfuss, 1837) Taf. 1, Fig. 3

- 1837 Nucula glaberrima Münster; Münster in Goldfuss: 157, Taf. 125, Fig. 14a–b.
- 1992 Yoldia (Yoldia) glaberrima (v. Münster, 1837) Moths et al.: 169.
- 1 Ex. und 3 Kl. Slg. DSB. Oberoligozän bis Obermiozän.

Genus Yoldiella VERRILL & BUSH, 1897

Typusart: Yoldia lucida Lovén, 1846

Yoldiella pygmaea (Münster in Goldfuss, 1837) Taf. 1, Fig. 4

- 1837 Nucula pygmaea Münster; Münster in Goldfuss: 157, Taf. 125, Fig. 17a-c.
- 1992 Portlandia (Yoldiella) pygmaea (v. Münster, 1837) Moths et al.: 169.
- 2 Ex. und 2 Kl. Slg. DSB; 2 Kl. Slg. GSL. Spätes Unteroligozän bis Pliozän.

Subclassis Pteriomorpha Beurlen, 1944 Familia Mytilidae Rafinesque, 1815 Genus *Modiolula* Sacco, 1897

Typusart: Modiolus phaseolinus Philippi, 1844

Modiolula pygmaea (Philippi, 1843) Taf. 1, Fig. 5

- 1843 Modiola pygmaea Ph.; Philippi: 15, Taf. 2, Fig. 14.
- 1979b Modiolula pygmaea (Philippi 1843) R. Janssen: 43.
- 1992 Modiolula phaseolina (Philippi, 1844) Moths et al.: 169 (non Philippi, 1844).

1 Ex. Slg. GSL. Oberoligozän bis Mittelmiozän. In der Art-Zuordnung wird der Argumentation von R. Janssen (1979b) gefolgt.

> Familia Glycymerididae Dall, 1908 Genus *Glycymeris* da Costa, 1778

Typusart: Arca glycymeris Linnæus, 1758

Glycymeris obovata baldii Glibert & van de Poel, 1965 Taf. 3, Fig. 1–3

- 1959 Glycimeris (Glycimeris) [sic] pilosa deshayesi (C. Mayer-Eymar 1868) Anderson: 83, Taf. 13, Fig. 7a–c (non Mayer, 1868).
- 1965 Glycymeris (s. s.) lunulata baldii nov. subsp. Glibert & Van de Poel: 85.
- 1992 Glycymeris (Glycymeris) obovata (Lamarck, 1819) Мотнѕ et al.: 169 (non Lamarck, 1819) (Abb. 1/1? die in Moths et al. abgebildete Klappe stammt aus Groß-Pampau (Neochattium), nicht aus Neetze).
- 1999 Glycymeris (Subgenus 1) obovata baldii (Glibert & van de Poel, 1965) van Nieulande & Moerdijk: 8, Taf. 2, Fig. 3a–b, Taf. 3, Fig. 1, 2a–b, Taf. 4, Fig. 1a–b.

Diese Unterart stellt die weit überwiegende Menge der Fossilien und bildet auf den Schauflächen der beiden Geschiebestücke aus Neetze regelrechte "Muschelpflaster" (Abb. 1–4). Sehr viele Schalen liegen als vollständige Exemplare vor, mit beiden Klappen im Zusammenhang. Stratigraphisches Vorkommen der Unterart: Oberoligozän bis frühes Obermiozän.

Die Glycymeris-Formen des norddeutschen Oberoligozäns und des Unterund Mittelmiozäns wurden aufgrund des sehr gleichförmigen Erscheinungsbildes dieser Gattung in der Vergangenheit mit den unterschiedlichsten Artnamen belegt.

Die Identität der oberoligozänen *G. obovata obovata* (Lamarck, 1819) klärte R. Janssen (1979b: S. 32 ff.) durch die Ermittlung der bis zu jener Zeit unklar interpretierten Typlokalität, der Wilhelmshöhe bei Kassel (Oberoligozän). Somit war klar, dass die 1965 von Glibert & van de Poel als Unterart der oberoligo-

zänen Nordsee-Art beschriebene *baldii* eine Unterart von *G. obovata* repräsentierte, und nicht von der unteroligozänen *G. lunulata* (Nyst, 1836).

GLIBERT & VAN DE POEL (1965) schlossen die von Anderson (1959) aus dem Vierlandium gemeldete Art als Übergangsform von G. obovata obovata zu G. obovata baldii in ihre neue Unterart ein. Van Nieulade & Moerdijk zufolge gehören im Nordseebecken ab dem späten Oligozan bis zum Mittelmiozan die meisten Vorkommen von Glycymeris zu G. obovata baldii. Ausnahmen bilden lediglich die Vorkommen von Werder bei Achim (mittleres Hemmoorium), wo G. nummaria (Linnæus, 1758) sehr häufig ist, G. obovata baldii nur untergeordnet auftritt und als Seltenheit G. bimaculata (Poli, 1795) vorkommt (Stein et al., 2016), sowie das Mittelmiozän des Peelgebietes in den südlichen Niederlanden, wo wenige Klappen von G. auriculata IJSPEERT, 1942 gefunden wurden.

Familia Limopsidae Dall, 1895 Genus *Cosmetopsis* Rovereto, 1898

Typusart: Limopsis retifera Semper, 1861

Cosmetopsis retifera (Semper, 1861) Taf. 3, Fig. 4

- 1861 Limopsis retifera Semper; Semper: 150.
- 1992 Limopsis (Pectunculina) retifera Semper, 1861 Moths et al.: 169.
- 2015 Cosmetopsis retifera retifera (Semper 1861) R. Janssen: 14, Abb. 12–17.

22 Kl. und 4 Ex. Slg. NVL; 9 Kl. und 7 Ex. Slg. DSB; 6 Kl. Slg. GSL. Oberoligozän. In einer Revision der oligozänen Limopsidae des Nordseebeckens führte R. Janssen (2015) als Vorkommen dieser Art ausschließlich Oligozän-Fundstellen an. Aus dem Miozän war die Art bisher nicht bekannt.

Familia Anomiidae RAFINESQUE, 1815

Anomiidae sp. Taf. 1, Fig. 6

1992 Ostraea [sic] sp. – Moths et al.: 169.

1 Kl. Slg. NVL; 3 Kl. Slg. GSL.

Familia Pectinidae RAFINESQUE, 1815

Pectinidae sp. Taf. 1, Fig. 7

1992 Pecten sp. – Мотнs et al.: 169 (partim).

2 Kl. Slg. DSB.

Eine nähere Bestimmung dieser Stücke ist nicht möglich, da nur Klappen-Innenseiten vorliegen.

Familia Propeamussiidae Abbott, 1954 Genus Similipecten Winckworth, 1932

Typusart: Pecten similis Laskey, 1811

Similipecten sp. Taf. 1, Fig. 8

1992 Pecten sp. – Мотнs et al.: 169 (partim).

2 Kl. (1 Steinkern u. 1 Innenseite) Slg. DSB.

Anhand des Materials ist nicht zu entscheiden, ob es sich hier um die aus dem Oligozän bekannte *Similipecten hauchecornei* (Koenen, 1884) oder um die im Miozän vorkommende und auch noch heute lebende *S. similis* (Laskey, 1811) handelt.

Subclassis Heterodonta Neumayr, 1884 Familia Lucinidae J. Fleming, 1828 Genus *Lucinoma* Dall, 1901

Typusart: Lucina filosa Stimpson, 1851

Lucinoma borealis praecedens (Koenen, 1868) Taf. 3, Fig. 5

1868 Lucina praecedens v. Koenen; Koenen: 246, Taf, 28, Fig. 8a-c.

1992 Lucinoma borealis (Linné, 1767) – Moths et al.: 169 (non Linné, 1767).

2005 Lucinoma borealis praecedens (Von Koenen, 1868) – Marquet: 7.

2 Ex. und 1 Kl. Slg. DSB. Oberoligozän bis Obermiozän.

Marquet (2005) zufolge wird diese Unterart ab dem Pliozän von der heute lebenden *Lucinoma borealis borealis* (Linné, 1767) abgelöst.

Genus Gonimyrtea MARWICK, 1929

Typusart: Loripes concinna Hutton, 1885

Gonimyrtea droueti schloenbachi (Koenen, 1868) Taf. 6, Fig. 1

1868 Lucina Schloenbachi Koenen: 247, Taf, 28, Fig. 9a-h.

1979b Gonimyrtea droueti schloenbachi (Koenen 1868) - R. Janssen: 72.

1 Kl. Slg. NVL. Oberoligozän.

Familia Carditidae Férussac, 1822 Genus *Cyclocardia* Conrad, 1867

Typusart: Cardita borealis Conrad, 1867

Cyclocardia sp. Taf. 4, Fig. 1

1992 Cyclocardia sp. – Мотнs et al.: 169.

2 Kl. Slg. DSB.

Die Klappen gleichen in der Ornamentierung *Cyclocardia depressa* (Koenen, 1884), weisen aber nur 16 radiale Rippen auf. Die Rippen werden zum Unterrand hin breiter und sind besonders im späteren Wachstumsstadium unscharf begrenzt. In der Ornamentierung sehr ähnlich ist auch *C. grippi* (Anderson, 1959), welche sich aber durch eine extreme Ausbildung des arealen Bereiches unterscheidet.

Familia Astartidae Orbigny, 1844 Genus *Astarte* J. Sowerby, 1816

Typusart: Venus scotica Maton & Racket, 1807

Astarte convexior Anderson, 1959 Taf. 4, Fig. 2

- 1959 Astarte (Astarte) gracilis convexior n. subsp. Anderson: 110, Taf. 15, Fig. 2a–c, 3a–e.
- 1992 Astarte (Astarte) goldfussi Hinsch, 1852 Moths et al.: 169 (non Hinsch, 1952).
- 2016 Astarte convexior Anderson, 1959 Stein et al.: 14, Abb. 3c-d, Taf. 4, Fig. 4a-b, 5.

4 Kl. Slg. NVL; 5 Kl. Slg. DSB; 1 Kl. Slg. GSL. Untermiozän bis Mittelmiozän. Von der im Oberoligozän vorkommenden extrem variablen *Astarte gracilis* Münster in Goldfuss, 1837 unterscheidet sich die stets mit kräftigen Rippen besetzte, aber in dieser Hinsicht immer noch recht variable, *A. convexior* durch stärker gewölbte Klappen. In seine aus dem Reinbekium von Twistringen als Typlokalität beschriebene neue Art schloss Anderson auch die im Vierlandium häufig gefundenen Formen

mit ein, aber keine Funde aus dem Hemmoorium. Für das Hemmoorium meldete er das erste Auftreten von A. goldfussi Hinsch, 1952.

In Fundstellen des Hemmooriums tritt A. convexior zwar seltener auf, ist aber nachgewiesen (Stein et al., 2016).

Astarte pygmaea Münster in Goldfuss, 1837 Taf. 4, Fig. 3

- 1837 Astarte pygmaea Münster; Münster in Goldfuss: 195, Taf. 135, Fig. 5a-b, 6a-b.
- 1959 Astarte (Astarte) pygmaea Graf zu Münster in Goldfuss 1834/40 Anderson: 111, Taf. 15, Fig. 4a–d.
- 1992 Laevastarte sp. Moths et al.: 169.

2 Kl. Slg. NVL; 5 Kl. Slg. DSB; 1 Kl. Slg. GSL. Oberoligozän bis Untermiozän (Vierlandium).

Von Astarte convexior Anderson, 1959 sind die Klappen dieser Art durch ihre weniger grobe Berippung und die gleichseitigere Umrissform zu unterscheiden (siehe Anderson, 1959).

Familia Cardiidae Lamarck, 1809 Genus *Habecardium* Glibert & van de Poel, 1970

Typusart: Cardium tenuisulcatum Nyst, 1836

Habecardium excomatulum (GLIBERT & VAN DE POEL, 1970) Taf. 4, Fig. 4

- 1925 Cardium (Laevicardium) cyprium Brocc. Kautsky: 37, Taf. 4, Fig. 7 (non Brocchi, 1814).
- 1959 Laevicardium (Laevicardium) cyprium (Brocchi 1814) Anderson: 128, Taf. 16, Fig. 7a–d (non Brocchi, 1814).
- 1970 Laevicardium (Habecardium) excomatulum nov. sp. Glibert & van de Poel: 36.
- 1979b Laevicardium (Habecardium) excomatulum Glibert & van de Poel 1970 R. Janssen: 103.
- 1992 Laevicardium (Habecardium) subturgidum (Orbigny, 1852) Moths et al.: 169 (non Orbigny, 1852).

5 Kl. Slg. NVL; 2 Ex. und 2 Kl. Slg. DSB; 1 Kl. Slg. GSL. Unteroligozan bis Untermiozan.

Die Unterschiede zwischen der auf das Mittelmiozän bezogenen *Habecardium subturgidum* (Orbigny, 1852) und der oberoligozänen *H. excomatulum* sind nur sehr gering (R. Janssen, 1979b). In die Synonymie von *H. excomatulum* schloss R. Janssen unter anderen auch die auf das Miozän bezogenen Zitate von Anderson (1959) (= Vierlandium) und Kautsky (1925) (= frühes bis mittleres Hemmoorium) mit ein. Im Vergleich mit Klappen aus dem oberoligozänen Sternberger Gestein ist das Material aus Neetze nicht von diesem zu unterscheiden.

Genus Parvicardium Monterosato, 1884

Typusart: Cardium parvum Philippi, 1844

Parvicardium sp. Taf. 4, Fig. 5

1992 Parvicardium sp. – Мотнs et al.: 169.

1 Kl. Slg. NVL; 1 Kl. Slg. DSB.

Die vorliegenden Klappen gleichen in Form und Berippung der oberoligozänen *Parvicardium kochi* (Semper, 1861), mit der Einschränkung, dass die Rippen keinerlei Knoten, Lamellen oder sonstige Ornamente tragen, sondern vollkommen glatt (nicht abgerieben!) sind. Anstelle der "Knoten" sind aber in gleichmäßigen Abständen auf den Rippen dunkle Verfärbungen sichtbar, die teilweise sehr schwach aufgewölbt sind.

Familia Glossidae Gray, 1847 Genus *Glossus* Poli 1795

Typusart: Cardium humanum Linnæus, 1758

Glossus sp. Taf. 4, Fig. 6

1992 Glossus sp. – Мотнs et al.: 169.

1 Kl. Slg. NVL; 1 Kl. Slg. DSB.

Familia Mactridae Lamarck, 1809 Genus *Spisula* Gray, 1837

Typusart: Cardium solidum Linnæus, 1758

Spisula trinacria (Semper, 1861) Taf. 2, Fig. 4

1861 Mactra trinacria Semper; Semper: 130.

2016 Spisula trinacria (SEMPER, 1861) - STEIN et al.: 21.

1 Kl. Slg. NVL. Oberoligozan bis Untermiozan.

Die aus dem oberoligozänen Sternberger Gestein beschriebene *Spisula trinacria* kommt auch im Vierlandium und im frühen Hemmoorium des Nordseebeckens vor, im späten Hemmoorium wird sie von *Spisula* aff. *subtruncata* (DA COSTA, 1778) abgelöst (STEIN *et al.*, 2016).

Familia Tellinidae Blainville, 1814 Genus *Peronidia* Dall, 1900

Typusart: Tellina albicans GMELIN, 1791

Peronidia postera (Beyrich in Koenen, 1868) Taf. 5, Fig. 1

1868 Tellina postera Beyrich; Beyrich in Koenen: 259.

1992 Abra sp. – Мотнs et al.: 169.

1 Ex. Slg. DSB. Oberoligozän bis Mittelmiozän.

Familia Semelidae Stoliczka, 1870 Genus *Abra* Lamarck, 1818

Typusart: Mactra tenuis Montagu, 1803

Abra bojei Anderson, 1959 Taf. 5, Fig. 2

1959 Abra (Abra) bojei nov. sp. Anderson: 144, Taf. 17, Fig. 7a-d.

1 Kl. Slg. DSB. Untermiozän.

Obgleich das Schloss nicht sichtbar ist, kann die vorliegende Klappe aufgrund der bei dieser Gattung kaum variablen Umrissform mit hinreichender Sicherheit zu *Abra bojei* gestellt werden.

Familia Veneridae RAFINESQUE, 1815 Genus *Mancosinodia* KADOLSKY, 1988

Typusart: Cytherea incrassata manca Braun in Walchner, 1851

Mancosinodia suborbicularis (Goldfuss, 1841) Abb. 5; Taf. 3, Fig. 6

- 1841a Venus suborbicularis nobis Goldfuss: 247, Taf. 148, Fig. 7a-c.
- 1959 *Pitar (Cordiopsis) polytropa suborbicularis* (Goldfuss 1834/40) Anderson: 135, Taf. 17, Fig. 1a–c.
- 1992 Callista? Moths et al.: 169.

1 Ex. juv. Slg. NVL; 1 Ex. juv. Slg. DSB; 1 Kl. juv. Slg. GSL. Oberoligozän bis Untermiozän.

Anderson (1959) gab eine sehr ausführliche Beschreibung und Diskussion der Art und des Formenkreises.

Ob der Steinkern einer sehr großen linken Klappe von 71 mm Länge auf dem größeren der beiden Geschiebestücke (Abb. 5) ebenfalls zu *M. suborbicularis* gehört, ist nicht mit Sicherheit zu entscheiden, die Umrissform deutet aber mehr auf diese Art als auf die von Linné (1767) beschriebene und ebenfalls infrage kommende *Arctica islandica* hin.



Abb. 5: Mancosinodia suborbicularis? (Goldfuss, 1841), Steinkern einer linken Klappe von 71 mm Länge.

Familia Corbulidae LAMARCK, 1818 Genus *Caryocorbula* GARDNER, 1926

Typusart: Corbula alabamiensis Lea, 1833

Caryocorbula rugulosa (Koenen in Speyer, 1884) Taf. 5, Fig. 3

- 1884 Corbula rugulosa v. Koenen; Koenen in Speyer: (partim) Taf. 3, Fig. 7, 7a, Taf. 31, Fig. 1, 1a (nicht Taf. 3, Fig. 1–2, = Caryocorbula subaequivalvis (Boettger, 1869)).
- 1959 *Corbula (Corbula) basteroti* Hörnes 1870 Anderson: 153, Taf. 18, Fig. 5a–b (*non* M. Hörnes, 1870).
- 1979b Corbula (Caryocorbula) rugulosa R. Janssen: 133.

1 Ex. Slg. DSB. Oberoligozän bis Untermiozän (Vierlandium).

Die Ornamentierung dieses Exemplars ist ähnlich *Caryocorbula basteroti* (M. Hörnes, 1870), einer extrem dickschaligen Art, die im mittleren Hemmoorium von Werder bei Achim sehr häufig auftritt. Die von Anderson (1959) als *Corbula basteroti* aus dem Vierlandium abgebildete Art zeigt eine sehr feine Ornamentierung und wurde von R. Janssen (1979b) in die Synonymie von *Corbula rugulosa* Koenen, 1884 gestellt.

Das aus Neetze vorliegende Exemplar ist im Gegensatz zu denen aus Werder sehr dünnschalig und zudem zusammengedrückt, wobei aber anzumerken ist, dass juvenile Klappen von *Caryocorbula basteroti* tatsächlich dünnschalig sind, das Dickenwachstum beginnt erst mit Erreichen einer gewissen Größe (Мотня *et al.*, 2010: S. 14 ff).

Sehr wahrscheinlich stellt das Exemplar aus Neetze eine Übergangsform von Caryo-corbula rugulosa zu C. basteroti dar.

Familia Teredinidae RAFINESQUE, 1815

Teredinidae sp. Taf. 5, Fig. 4

1992 *Teredo* sp. – Мотнs *et al.*: 169.

2 Kl. Slg. DSB; 1 Kl. Slg. GSL.

Neben drei Teredinidae-Klappen finden sich im Geschiebe aus Neetze zahlreiche Bohrgang-Auskleidungen. Oft sind vom Treibholz, in welchem die Gänge angelegt waren, nur noch wenige Reste erkennbar.

Familia Hiatellidae Gray, 1824 Genus *Hiatella* Bosc, 1801

Typusart: Hiatella monoperta Bosc, 1801

Hiatella arctica (Linné, 1767) Taf. 2, Fig. 5 1767 Mya arctica Linné: 1113.

1992 Hiatella arctica (Linné, 1767) – Moths et al.: 169.

1 Kl. Slg. NVL; 1 Kl. Slg. GSL. Oberoligozän bis rezent.

Genus *Panopea* Ménard de la Groye, 1807 Typusart: *Panopea aldrovandi* Ménard de la Groye, 1807

Panopea menardii Deshayes in Bory de Saint-Vincent, 1828 Taf. 5, Fig. 5

1828 Panopæa Menardii Nob. Deshayes in Bory de Saint-Vincent: 22.

1959 Panopea meynardi [sic] Deshayes 1828 – Anderson: 150, Taf. 18, Fig. 3a–b.

1 Ex. Slg. DSB. Untermiozän bis Mittelmiozän.

Familia Pharidae H. Adams & A. Adams, 1856 Genus *Ensis* Schumacher, 1817

Typusart: Ensis magnus Schumacher, 1817

Ensis **sp.** Taf. 5, Fig. 6

1992 Ensis sp. – Мотнѕ et al.: 169.

1 Ex. Slg. DSB.

Es liegt ein Steinkern mit nur sehr wenigen Schalenresten vor. Wahrscheinlich wird es sich hierbei um die Art *Ensis hausmanni* (Goldfuss, 1841) handeln, die R. Janssen (1979b: S. 107) zufolge als einzige Art dieser Gattung im Oberoligozän bekannt ist.

Familia Lyonsiidae P. FISCHER, 1887 Genus *Lyonsia* Turton, 1822

Typusart: *Mya striata* Montagu, 1816

Lyonsia cf. norwegica (GMELIN, 1791) Taf. 7, Fig. 1

?1791 Mya norwegica GMELIN: 3222.

1959 Lyonsia (Lyonsia) norvegica (Chemnitz 1788) aut. – Anderson: 157, Taf. 18, Fig. 8.

1992 Gari sp. – Мотнѕ et al.: 169.

1 Ex. DSB. Untermiozän.

Andersons (1959) Meldung der rezenten *Lyonsia norwegica* ist die einzige der Art für das miozäne Nordseebecken, wobei diese Zuordnung aber unter Vorbehalt erfolgte.

Der Steinkern aus Neetze zeigt Teile der perlmuttrigen inneren Schalenbereiche sowie radiale Strukturen, die auf der hier nicht erhaltenen Schalenoberfläche zumeist als nur sehr schwache Linien erscheinen. Das Exemplar gleicht im Umriss mehr Formen der sehr variablen rezenten Art als der von Anderson abgebildeten Klappe.

Familia Thraciidae Stoliczka, 1870 Genus *Thracia* Blainville, 1824

Typusart: Mya pubescens Pulteney, 1799

Thracia sp. Taf. 7, Fig. 2

1 Ex. Slg. DSB.

Anderson (1959) meldete aus dem Vierlandium des Nordseebecken die Art *Thracia ventricosa* (Philippi, 1844). Das vorliegende Exemplar gleicht allerdings aufgrund des deutlich längeren vorderen Schalenbereiches nach Vergleich mehr der im Oberoligozän von Eger in Ungarn als *Thracia pubescens* (Pulteney, 1799) bekannten Form.

Classis **Scaphopoda** Bronn, 1862 Familia Dentaliidae Children, 1834 Genus *Dentalium* Linnæus, 1758

Typusart: Dentalium elephantinum Linnæus, 1758

Dentalium cf. geminatum Goldfuss, 1841 Taf. 7, Fig. 3–4

?1841b Dentalium geminatum nobis Goldfuss: 4, Taf. 166, Fig. 13a-c.
?1978 Dentalium (Dentalium) geminatum Goldfuss 1841 – R. Janssen: 138, Taf. 9, Fig. 1.
1992 Dentalium sp. – Moths et al.: 169.

8 Frag. Slg. NVL; 3 Ex. DSB

Familia Gadilidae Stoliczka, 1869

Gadilidae sp. 1 Taf. 7, Fig. 5–6; Taf. 8, Fig. 1

2 Ex DSB; 1Ex. GSL.

Gadilidae sp. 2 Taf. 8, Fig. 2

1992 Laevdentalium [sic] sp. – Мотнs et al.: 169.

1 Ex. DSB.

Classis **Polyplacophora** Gray, 1821 Subclassis Neoloricata Bergenhayn, 1955 Familia Leptochitonidae Dall, 1889 Genus *Lepidopleurus* Risso, 1826

Typusart: Chiton cajetanus Poli, 1791

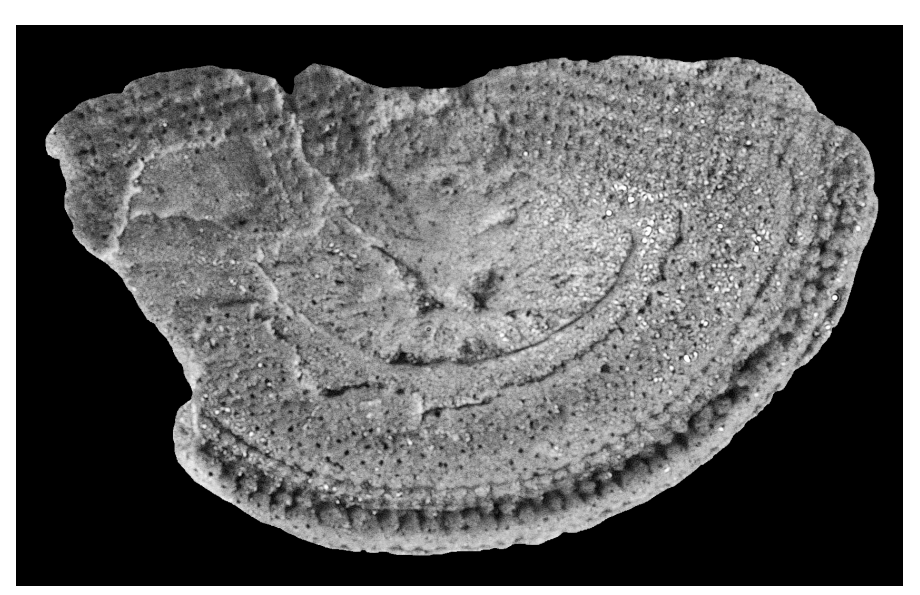


Abb. 6: Lepidopleurus benoisti (Rochebrune, 1882), Breite: 3,5 mm; Hemmoorium, Werder bei Achim (aus Moths et al., 2010: Taf. 34, Fig. 3; mit freundl. Genehmigung K. Hoedemakers).

Lepidopleurus benoisti (Rochebrune, 1882) Abb. 6; Taf. 6, Fig. 4

- 1882 Gymnoplax Benoisti Rochebrune: 64, Taf. 1, Fig. 8.
- 2010 ?Lepidopleurus sp. Мотня et al.: 30, Taf. 34, Fig. 3.
- 2018 Lepidopleurus benoisti (de Rochebrune, 1882) Dell'Angelo et al.: 12, Abb. 2J–U, 3A–F.

1 Endsegment Slg. NVL. Oberoligozän bis frühes Obermiozän.

Schalensegmente von Polyplacophoren ("Käferschnecken") gehören im Oberoligozän und Miozän von Norddeutschland zu den sehr seltenen Funden. Ein unter Vorbehalt als *Lepidopleurus* Risso, 1826 bestimmtes Endsegment aus dem Hemmoorium von Werder bei Achim bildeten Moths *et al.* (2010) ab (Abb. 6), welches einem fragmentarischen Endsegment aus Neetze gleicht (Taf. 6, Fig. 4). Beide Exemplare konnten von E. Schwabe (pers. Mittl.) als *Lepidopleurus benoisti* (Rochebrune, 1882) bestimmt werden. Das Typexemplar dieser Art stammt aus dem Aquitanium/

Burdigalium Südwest-Frankreichs, als weitere Vorkommen der Art führte Rochebrune in der Erstbeschreibung mit "Lits d'Edeghem" und "Sable de Diest" auch Ablagerungen aus dem Nordseebecken (Belgien) an. Für Norddeutschland war die Art bisher nicht nachgewiesen. Eine ausführliche Beschreibung und Diskussion sowie Angaben zur Verbreitung der Art gaben Dell'Angelo et al. (2018).

Classis **Gastropoda** Cuvier, 1797 Subclassis Patellogastropoda Lindberg, 1986 Familia Lottiidae Gray, 1840

Genus *Boreoblinia* O.Y. Anistratenko, Burger & V.V. Anistratenko, 2010 Typusart: *Patella compressiuscala* Karsten, 1849

Boreoblinia compressiuscala (Karsten, 1849) Taf. 9, Fig. 1

- 1849 Patella compressiuscala n. sp.? KARSTEN: 12.
- 1992 Lepetella compressiuscula [sic] (KARSTEN, 1872 [sic]) Moths et al.: 169, Abb. 1/2.
- 2010 Boreoblinia compressiuscala (Karsten, 1849) O.Y. Anistratenko et al.: 115, Abb. 5.

1 Ex. Slg. NVL; 4 Ex. Slg. DSB; 1 Ex. Slg. GSL. Oberoligozän bis Mittelmiozän. Eine ausführl. Beschreibung der Art erfolgte durch O.Y. Anistratenko *et al.* (2010).

Subclassis Caenogastropoda Cox, 1960 Familia Turritellidae Lovén, 1847 Genus *Haustator* Montfort, 1810

Typusart: Haustator gallicus Montfort, 1810

Haustator goettentrupensis (Cossmann, 1899) Taf. 7, Fig. 7

- 1899 Turritella Göttentrupensis nobis Cossmann: 177.
- 1992 Turritella sp. Мотнs et al.: 169.
- 2 Ex. und 4 Frag. Slg. NVL; 8 Ex. Slg. DSB. Oberoligozän bis Untermiozän (Vierlandium).

Familia Naticidae Guilding, 1834 Genus *Euspira* Agassiz, 1837

Typusart: Natica glaucinoides J. Sowerby, 1812

Euspira sp. Taf. 9, Fig. 2

1992 Euspira helicina (Вкоссні, 1814) – Мотня et al.: 169 (поп Вкоссні, 1814).

11 Ex. Slg. NVL; 16 Ex. Slg. DSB; 1 Ex. Slg. GSL.

Familia Calyptraeidae Lamarck, 1809 Genus *Calyptraea* Lamarck, 1799 Typusart: *Patella chinensis* Linnæus, 1758

> Calyptraea chinensis (LINNÆUS, 1758) Taf. 9, Fig. 3

1758 Patella chinensis Linnæus: 781.

1 Ex. Slg. DSB. Oberoligozän bis rezent.

Familia Ficidae Meek, 1864 Genus *Ficus* Röding, 1798

Typusart: Murex ficus Linnæus, 1758

Ficus condita (Brongniart, 1823) Taf. 8, Fig. 3

1823 *Pyrula condita* Brongniart: 75, Taf. 6, Fig. 4a–b.

1 Ex. juv. Slg. NVL. Unteroligozan bis Obermiozan.

Ficus simplex (Beyrich, 1854) Taf. 9, Fig. 4

1854b Pyrula simplex Beyr.; Beyrich: 777, Taf. 15, Fig. 3, 3a.

1992 Ficus concinnus [sic] (Brongniart, 1823) [sic] – Moths et al.: 170 (non Beyrich, 1854).

3 Ex. Slg. DSB. Untermiozän bis Obermiozän.

Die im Oberoligozän auftretende Ficus concinna (Beyrich, 1854) bildet mit der miozänen F. simplex (Beyrich, 1854) eine Entwicklungsreihe. Beide Arten unterscheiden sich nur geringfügig in der Ornamentierung, die Gehäuse aus Neetze scheinen aber der miozänen Art aufgrund der schwachen axialen Skulpturelemente, die eigentlich nur eine unregelmäßig hervortretende Anwachsstreifung sind, etwas näher zu stehen.

Familia Aporrhaidae Gray, 1850

Aporrhaidae sp. Taf. 9, Fig. 5

1 Ex. juv. Slg. DSB.

Der vorliegende Protoconch ist kleiner und schlanker als der von *Aporrhais speciosus* (Schlotheim, 1820). (Die Abbildung der beiden Aporrhaidae-Protoconche auf Tafel 9 ist maßstabsgerecht.)

Genus Aporrhais da Costa, 1778

Typusart: Aporrhais quadrifidus DA Costa, 1778

Aporrhais speciosus (Schlotheim, 1820) Taf. 9, Fig. 6

1820 Strombus speciosus Schlotheim: 155. 1 Ex. juv. Slg. DSB. Oberoligozän bis Untermiozän. (Bestimmung durch U. Wieneke.) Im eiszeitlichen Schmelzwassersand einer von Neetze nicht weit entfernten Kiesgrube bei Breetze tritt die Art häufig auf. Anderenorts, wo ebenfalls "Schmelzwassersand"-Mollusken des Vierlandiums auftreten, wurde eine weitere Art gefunden, die sich durch einen weit ausgebreiteten Mündungskallus und zum Teil sehr großwüchsige Gehäuse von *A. speciosus* unterscheidet.

Familia Cassidae Latreille, 1825 Genus *Echinophoria* Sacco, 1890

Typusart: Buccinum intermedium Вкоссні, 1814

Echinophoria megapolitana (Beyrich, 1848) Taf. 10, Fig. 1

1848 Cassis megapolitana Beyrich: 44. 1854a Cassis megapolitana Beyrich: 476, Taf. 10, Fig. 7, 7a, 8a-b. 1992 Echinophoria bicoronata (Beyrich, 1854) – Moths et al.: 170 (non Beyrich, 1854).

1 Ex. juv. Slg. NVL; 1Ex., 4 Ex. juv. Slg. DSB; 1 Ex. juv. Slg. GSL. Oberoligozän. In der Vergangenheit wurde die von Beyrich (1854a) ausführlich und gut charakterisierte Art gewöhnlich als Variante in die Synonymie der im Oberoligozän und im Miozän (vorwiegend dem unteren Miozän) des Nordseebeckens verbreiteten E. rondeleti (Ваѕтекот,1825) gestellt. Dieser Auffassung wird hier nicht gefolgt und E. megapolitana als eigenständig betrachtet. Die Exemplare aus Neetze entsprechen vollkommen denen des oberoligozänen Sternberger Gesteins, in welchem E. rondeleti nicht vorkommt. Von der ab dem Mittelmiozän im Nordseebecken auftretenden Nachfolgeart E. bicoronata (Веукісн, 1856) unterscheidet sich E. megapolitana lediglich in der Ornamentierung durch stärker ausgeprägte Knoten auf den Schnittstellen der axialen und spiralen Skulpturelemente. E. megapolitana und E. bicoronata bilden eine Entwicklungsreihe.

Familia Cymatiidae Iredale, 1913 Genus Sassia Bellardi, 1873

Typusart: Triton apenninicum Sassi, 1827

Sassia flandrica (Koninck, 1837) Taf. 10, Fig. 2

1837 Triton Flandricum Mihi Koninck: 14, Taf. 2, Fig. 4.

1854b Tritonium flandricum Kon. - Beyrich: 729, Taf. 12, Fig. 3a-b, 4, 5a-b.

1992 Charonia (Sassia) flandrica (Koninck, 1837) – Moths et al.: 170, Abb. 1/3.

1 Ex. Slg. DSB. Oberoligozan bis Untermiozan.

Beyrich (1854b) befasste sich ausführlich mit den Arten dieser Gattung und ihrer Verbreitung im Nordseebecken. Das Exemplar aus Neetze sowie die im Schmelzwassersand von Breetze häufiger gefundenen Gehäuse gehören zur vorwiegend im Oberoligozän auftretenden *S. flandrica*, deren Nachfolgeform die aus dem Holsteiner Gestein des Vierlandiums beschriebene *S. enodis* (Beyrich, 1854) ist. Zusammen mit beiden Arten tritt *S. turrita* (Eichwald, 1830) (Synonym: *S. tarbelliana* (Grateloup, 1833)) auf, die noch im Mittelmiozän vorkommt.

Familia Cancellariidae Forbes & Hanley, 1851 Genus *Admetula* Cossmann, 1889

Typusart: Cancellaria evulsa Solander in Brander, 1766

Admetula pyrastriformis (Schlotheim, 1820) Taf. 8, Fig. 4

1820 Muricites pyrastriformis Schlotheim: 142.

1856b *Cancellaria evulsa* Sol. sp. Var. γ *postera* Beyrich: 557, Taf. 26 (= 17 im Journal), Fig. 3a–b, 4a–c, 5a–b.

1 Ex. Slg. NVL. Oberoligozän.

Genus Pseudobabylonella Brunetti, della Bella, Forli & Vecchi, 2009

Typusart: Cancellaria minima Reeve, 1856

Pseudobabylonella pusilla (Philippi, 1843) Taf. 10, Fig. 3

- 1843 Fasciolaria pusilla n. sp. Philippi: 59, Taf. 4, Fig. 11.
- 1992 Babylonella fusiformis (Cantraine, 1835) Moths et al.: 170 (non Cantraine, 1835).

2 Ex. Slg. NVL; 1 Ex. Slg. DSB. Oberoligozän bis Untermiozän.

Untermiozäne Formen dieser extrem variablen Art sind von oberoligozänen nicht zu unterscheiden.

Genus Sveltia Jousseaume, 1887

Typusart: Voluta varicosa Brocchi, 1814

Sveltia gliberti A.W. Janssen, 1984 Taf. 10, Fig. 4

- 1984 Sveltia gliberti sp. nov. A.W. Janssen: 15.
- 1992 Sveltia varicosa (Brocchi, 1814) Moths et al.: 170 (non Brocchi, 1814).

2 Ex. Slg. NVL; 8 Ex. Slg. DSB; 2 Ex. Slg. GSL. Untermiozän.

Diese im Untermiozän nicht seltene Art unterscheidet sich durch sehr stark gewölbte Umgänge und einen deutlich größeren Gehäusewinkel von der im Mittel- und Obermiozän des Nordseebeckens häufig vorkommenden *S. exvaricosa* (Sacco, 1894) und der sehr seltenen *S. parvicarinata* (Kautsky, 1925) des Hemmooriums, die hier nach neuer Erkenntnis als eigenständige Art gewertet wird.

Familia Buccinidae RAFINESQUE, 1815 Genus Angistoma SANDBERGER, 1861

Typusart: Fusus ringens Beyrich, 1856

Angistoma brueckneri (Beyrich, 1856) Taf. 11, Fig. 1a–b, 2 1856a Fusus Brückneri Beyr.; Beyrich: 74, Taf. 21 (6), Fig. 4a-c. 1979a Angistoma brueckneri (Beyrich 1856) – R. Janssen: 290, Taf. 15, Fig. 13–14.

1 Ex. juv. Slg. NVL; 2 Ex. Slg. DSB. Oberoligozän bis Untermiozän (Vierlandium). Im Schmelzwassersand der nicht weit von Neetze entfernten Kiesgrube Breetze wurde diese aus dem oberoligozänen Sternberger Gestein beschriebene und im Oberoligozän allgemein recht seltene Art häufiger gefunden.

Ein ungewöhnlich schlankes Gehäuse aus Neetze (Taf. 11, Fig. 1a) wurde aufgrund seiner Form zunächst als noch unbeschriebene Art der Fasciolariidae Gray, 1850 vermutet. Das Vorhandensein von zwei Columellarfalten (bei der Tafelfigur sind diese allerdings sehr flachen Falten durch streifende Beleuchtung hervorgehoben) schloss aber eine Zuordnung zu den Fasciolariidae als wenig wahrscheinlich aus (M.A. Snyder und G. Lyons, pers Mittl.). Ein Hinweis bezüglich der Ornamentierung (R. Janssen, pers. Mittl.) klärte dann die Familien- und Gattungszuordnung. Obgleich die Gehäuseform für Angistoma brueckneri höchst ungewöhnlich ist, wird das Exemplar dieser Art zugeordnet, da möglicherweise eine im Bereich der ersten beiden Teleoconch-Umgänge erkennbare Wachstumsanomalie für die extreme Wuchsform ursächlich ist (Taf. 11, Fig. 1b: der zweite Teleoconch-Umgang zeigt eine ausgeprägte Schulterung, die bei der Art normalerweise nicht vorkommt).

Die Ausbildung der Columellarfalten ist bei A. brueckneri außerordentlich variabel, sehr oft fehlen diese auch.

Familia Fasciolariidae Gray, 1853 Genus *Aquilofusus* Kautsky, 1925

Typusart: Fusus waelii Nyst in Lyell, 1852

Aquilofusus nanus (Tembrock, 1968) Taf. 12, Fig. 1a–b

1968 *Scalaspira (Scalaspira) nana* sp. n. Темвгоск: 239, Taf. 8, Fig. 6–7, Taf. 11, Fig. 12, Taf. 18, Fig. 1.

1 Ex. Frag. Slg. NVL; 2 Ex. Slg. DSB. Untermiozän (Vierlandium). *Aquilofusus nanus* wie auch die nachfolgend aufgeführte *A. pereger* (Веукісн, 1856) sind sehr gute Leitformen für das frühe Vierlandium (nach Темвкоск, 1968).

Aquilofusus pereger (Beyrich, 1856) Taf. 12, Fig. 2–3

1856a Fusus pereger Beyr.; Beyrich: 57, Taf. 20, Fig. 4-5.

1968 Scalaspira (Scalaspira) pereger (Beyrich 1856) – Tembrock: 234, Taf. 10, Fig. 6a-b, 7-8.

1992 Scalaspira sp. – Мотнs et al.: 170.

1 Ex. juv. und 1 Frag. Slg. NVL; 1 Ex. und 1 Ex. juv. DSB; 1 Ex. GSL. Untermiozän (Vierlandium).

Genus Streptodictyon Tembrock, 1961

Typusart: Streptochetus (Streptodictyon) elongatus sensu Темвкоск, 1961 non Nyst, 1845; = Fusus sowerbyi Nyst, 1836

Streptodictyon cheruscus (Philippi, 1843) Taf. 12, Fig. 4

- 1843 Fusus cheruscus n. sp. Philippi: 59, Taf. 4, Fig. 21.
- 1992 Streptochetus (Streptodiction [sic]) sexcostatus (Beyrich, 1856) Moths et al.: 170 (non Beyrich, 1856).

1 Ex. juv. Slg. GSL. Oberoligozän bis Untermiozän.

Von der ab dem oberen Hemmoorium vorkommenden sehr ähnlichen *Streptodictyon sexcostatus* (Beyrich, 1856) unterscheidet sich die vorliegende Art durch die bereits unmittelbar am Teleoconchbeginn erkennbar enger stehende Berippung.

Streptodictyon gottschei (Gripp, 1914) Taf. 12, Fig. 5–6

- 1914 Fusus abruptus var. Gottschei n. var. Gripp: 21 Taf. 2, Fig. 17–19.
- 1950 Streptochetus (Streptochetus) pergracilis (Von Koenen) Beets: 21, Taf. 2, Fig. 25–28 (non Koenen, 1889)
- 1992 Streptochetus (Streptodiction [sic]) cf. gottschei (GRIPP, 1913) MOTHS et al.: 170.

- 1994 Streptodictyon gottschei (GRIPP, 1914) CADÉE & A.W. JANSSEN: 48, Abb. 9, Taf. 2, Fig. 8–12.
- 1994 Streptodictyon gottschei (GRIPP, 1914) forma beetsi n. f.; CADÉE & A.W. JANSSEN: 51, Taf. 3, Fig. 1–3.

1 Ex. und 2 Ex. juv. Slg. DSB. Oberoligozän bis Untermiozän (Vierlandium). Das größte der aus Neetze vorliegenden Exemplare dieser Art weist etwa 5 Teleoconch-Umgänge auf, wobei auch auf dem letzten Umgang noch kein Verlöschen oder Abschwächen der Radialberippung erkennbar ist. Für solche Gehäuse, die auf allen Umgängen eine gleichmäßige Rippenausbildung zeigen, führten Cadée & A.W. Janssen (1994) den intraspezifischen Namen "forma beetsi" ein. Bisher war diese neue Form nur aus oberoligozänen Vorkommen in den Niederlanden (Beets, 1950) und in Dänemark bekannt, während die typische Form der S. gottschei erstmals aus dem Vierlandium Norddeutschlands beschrieben wurde.

Familia Nassariidae Iredale, 1916 Genus *Tritia* Risso, 1826

Typusart: Buccinum reticulatum Linnæus, 1758

Tritia schroederi (Kautsky, 1925) Taf. 10, Fig. 5

- Buccinum Schlotheimi Beyr. Beyrich: 456 (partim, nur Travemünde und Segeberg), Taf. 7, Fig. 9a–c (non Beyrich, 1854) (nicht Fig. 7a–c, 8a–c, = Tritia schlotheimi).
- 1925 Nassa (Telasco) Schröderi nov. spec. Kautsky: 109, Taf. 8, Fig. 11.
- 1992 Hinia (Tritonella) schlotheimi (Beyrich, 1854) Moths et al.: 170 (non Beyrich, 1854).
- 2019 Tritia schroederi (Kautsky, 1925) Stein: 18, Taf. 1–5; Taf. 6, Fig. 1–5, Taf. 57, Fig. 1, 3–4, 9–10, Taf. 58, Fig. 3–5.
- 1 Ex. juv. Slg. NVL; 4 Ex. Slg. DSB; 2 Ex. Slg. GSL. Untermiozän bis frühes Mittelmiozän.

Beyrich (1854) beschrieb aus dem oberoligozänen Sternberger Gestein die Art *Buccinum schlotheimi* und schloss in diese von ihm als sehr variabel erkannte Art auch Vorkommen aus dem Untermiozän mit ein. Aktuelle Untersuchungen (Stein, 2019)

ergaben, dass die untermiozänen Formen von der nun auf das Oberoligozän beschränkten *Tritia schlotheimi* abzutrennen und der aus dem Hemmoorium beschriebenen *T. schroederi* zuzuordnen sind, mit deren Typus sowie topotypem Material aus Hemmoor vollkommene Übereinstimmung besteht.

Familia Muricidae Rafinesque, 1815 Genus *Pagodula* Monterosato, 1884

Typusart: Fusus echinatus Kiener, 1840

Pagodula semperi (KOENEN, 1872) Taf. 8, Fig. 5; Taf. 9, Fig. 7

1872 *Trophon Semperi* v. Koenen, 1872; Koenen: 151, Taf. 1, Fig. 4a-b.

1 Ex. juv. Slg. NVL; 1 Ex. Slg. DSB. Untermiozän bis Obermiozän.

Genus *Ecphora* Conrad, 1843 Typusart: *Fusus quadricostatus* Say, 1824

> Ecphora wiechmanni (Koenen, 1872) Taf. 10. Fig. 6

1872 Stenomphalus Wiechmanni v. Koenen; Koenen: Taf. 1, Fig. 2, 10a–b.

1992 Rapana (Ecphora) wichmanni [sic] (v. Koenen, 1872) – Moths et al.: 170, Abb. 1/4.

2 Ex. juv. Slg. NVL: 1 Ex. juv. Slg. GSL. Untermiozän (Vierlandium).

Familia Borsoniidae Bellardi, 1875 Genus *Asthenotoma* Harris & Burrows, 1891 Typusart: *Pleurotoma meneghinii* Mayer, 1868

> Asthenotoma obliquinodosa (Sandberger, 1860) Taf. 11, Fig. 3

- 1860 Pleurotoma obliquinodosa SANDB.; SANDBERGER: Taf. 16, Fig. 6, 6a.
- 1862 Pleurotoma obliquinodosa Sandb. Sandberger: 240.
- 1992 Brachitoma [sic] obtusangula (Brocchi, 1814) Moths et al.: 170 (non Brocchi, 1814).

2 Ex. Slg. NVL; 1 Ex. Slg. DSB; 1 Ex. Slg. GSL. Oberoligozän.

Genus Bathytoma Harris & Burrows, 1891

Typusart: Murex cataphractus Broccнi, 1814

Bathytoma jugleri (Philippi, 1847) Taf. 11, Fig. 4

- 1847 Pleurotoma Jugleri Ph.; Philippi: 68, Taf. 10a, Fig. 1.
- 1925 Bathytoma cataphracta Brocch. Kautsky: 179, Taf. 11, Fig. 33 (non Brocchi, 1814).
- 1925 Bathytoma Jugleri Phil. Kautsky: 179, Taf. 12, Fig. 1-2.
- 1992 Bathytoma jugleri (Philippi, 1817) Moths et al.: 170.

1 Ex. Slg. DSB. Untermiozän bis Obermiozän.

Das nicht ganz vollständige Gehäuse aus Neetze zeigt keine Axialrippen oder Knoten, wie sie für die oberoligozäne *Bathytoma leunisii* (Рнігіррі, 1843) kennzeichnend sind. Die höchste Übereinstimmung besteht mit dem von Kautsky (1925) als *B. cataphracta* (Вкоссні, 1814) abgebildeten Gehäuse, welches allgemein in die Synonymie von *B. jugleri* gestellt wird.

Unterschiedlich ist im Vergleich mit stratigraphisch jüngeren Exemplaren die sehr viel feinere Ausbildung der Spiralen des Gehäuses aus Neetze.

Familia Fusiturridae Abdelkrim, Aznar-Cormano, Fedosov, Kantor, Lozouet, Phuong, Zaharias & Puillandre, 2018

Genus Fusiturris THIELE, 1929

Typusart: Pleurotoma undatiruga Ant. Bivona in And. Bivona, 1838

Fusiturris duchastelii flexiplicata (Nyst, 1861)

Taf. 10, Fig. 7–8

1861 Pleurotoma flexiplicata, 1861, Nyst; Nyst: 191.

1992 Fusiturris flexiplicata (Kautsky, 1925 [sic]) – Moths et al.: 170.

2 Ex. Slg. DSB. Untermiozän bis Mittelmiozän.

Ein Exemplar aus Neetze (Taf. 10, Fig. 7) entspricht mehr der miozänen Unterart als der oberoligozänen Vorläuferform. Das zweite Gehäuse (Taf. 10, Fig. 8) ist auffallend schlank, gehört aber in die Variationsbreite der Art.

Familia Turridae H. Adams & A. Adams, 1853 Genus *Gemmula* Weinkauff, 1875

Typusart: Pleurotoma gemmata HINDS, 1843

Gemmula subdenticulata (Münster in Goldfuss, 1844) Taf. 8, Fig. 6; Taf. 11, Fig. 5

1841b [*Pleurotoma subdenticulata*] – Münster *in* Goldfuss: Taf. 171, Fig. 10. 1844 *Pleurotoma subdenticulata* Münster; Münster *in* Goldfuss: 21.

3 Ex. Slg. NVL; 1 Ex. Slg. DSB. Oberoligozän.

Subclassis Heterobranchia Burmeister, 1837 Familia Acteonidae Orbigny, 1843 Genus *Acteon* Montfort, 1810

Typusart: Bulla tornatilis Linnæus, 1758

Acteon philippii (Koch in Koch & Wiechmann, 1868) Taf. 13, Fig. 1

1868 Tornatella Philippii Koch; Koch in Koch & Wiechmann: 547, Taf. 12, Fig. 3a-c.

1979a Acteon (Acteon) philipii (Koch 1868) - R. Janssen: 342, Taf. 18a, Fig. 100.

1992 Acteon sp. – Мотнѕ et al.: 170.

4 Ex. Slg. NVL; 1 Ex. Slg. DSB; 2 Ex. Slg. GSL. Oberoligozän.

Die Exemplare aus Neetze entsprechen der Abbildung und der Beschreibung in R. Janssen (1979a).

Genus Crenilabium Cossmann, 1889 Typusart: Actaeon (Crenilabium) aciculatus Cossmann 1889

Crenilabium terebelloides (Philippi, 1843) Taf. 13, Fig. 2

- 1843 Bulla terebelloides n. sp. Philippi: 18, Taf. Fig. 5, 5a.
- 1992 Crenilabium terebelloides (Philippi, 1843) Moths et al.: 170.

1 Ex. Slg. NVL; 1 Ex. und 1 Frag. Slg. DSB. Oberoligozän bis Mittelmiozän.

Familia Ringiculidae Philippi, 1853 Genus *Ringicula* Deshayes, 1838 Typusart: *Marginella auriculata* Ménard de la Groye, 1811

> Ringicula ventricosa (J. de C. Sowerby, 1824) Taf. 13, Fig. 3

- 1824 Auricula ventricosa J. DE C. SOWERBY: 99, Taf. 465, Fig. 1.
- 1992 Ringicula ventricosa (Sowerby, 1824) Moths et al.: 170.

1 Ex. und 1 Ex. juvenil Slg. DSB. Untermiozän bis Pliozän.

Die Gehäusegröße des Exemplars aus Neetze unterscheidet es deutlich von der im Untermiozän des Nordseebeckens vorkommenden *Ringicula minor* (Grateloup, 1838) sowie von den im oberoligozänen Sternberger Gestein vorkommenden *R. douvillei* Morlet, 1880 und *R. striata* Philippi, 1843. (Zu den Ringiculidae des Oberoligozäns und Miozäns des Nordseebeckens siehe Stein *et al.*, 2016: S. 163 ff.)

Familia Retusidae Thiele, 1925 Genus *Retusa* Brown, 1827

Typusart: Bulla obtusa Montagu, 1803

Retusa sp. Taf. 8, Fig. 7a–b

1 Ex. Slg. DSB.

Der für eine genauere Bestimmung relevante apikale Nabel des vorliegenden Exemplars ist eingesenkt, aber mit Sediment gefüllt, welches sich aufgrund der Kleinheit nicht ohne die Gefahr einer Beschädigung entfernen lässt. Zumindest sehr ähnlich erscheint die aus dem Oberoligozan bekannte *Retusa minuta* (Deshayes, 1824).

Familia Rhizoridae Dell, 1952 Genus *Volvulella* Newton, 1891

Typusart: Bulla acuminata Bruguière, 1792

Volvulella acuminata (Bruguière, 1792) Taf. 13, Fig. 4

1792 Bulla acuminata Nob. Bruguière: 376.

1992 *Cylichna* sp. – Мотнs *et al.*: 170.

1 Ex. Slg. DSB. Oberoligozän bis rezent.

Das vorliegende Exemplar weist eine ungewöhnlich deutliche Ornamentierung auf.

Familia Cylichnidae H. Adams & A. Adams, 1854 Genus *Cylichna* Lovén, 1846

Typusart: Bulla cylindracea Pennant, 1777

Cylichna **sp.** Taf. 8, Fig. 8

1 Ex. Slg. NVL.

Familia Scaphandridae SARS, 1878 Genus *Roxania* GRAY, 1847

Typusart: Bulla cranchii J. Fleming, 1828

Roxania utriculus (Brocchi, 1814) Taf. 13, Fig. 5

- 1814 Bulla utriculus nob. Brocchi: 633.
- 1992 Roxania utriculus (Brocchi, 1814) Moths et al.: 170.

1 Ex. Slg. NVL; 7 Ex. Slg. DSB; 2 Ex. Slg. GSL. Oberoligozan bis rezent.

Familia Limacinidae Gray, 1840 Genus *Limacina* Bosc, 1817

Typusart: Clio helicina Phipps, 1774

Limacina valvatina (Reuss, 1867) Taf. 13, Fig. 6

- 1867 Spirialis valvatina Rss.; REUSS: 146, Taf. 6, Fig. 11a-b.
- 1992 Limacina valvatina (Reuss, 1867) Moths et al.: 170.

6 Ex. Slg. NVL; 7 Ex. Slg. DSB; 1 Ex. Slg. GSL. Oberoligozan bis Obermiozan (Langenfeldium).

Familia Pyramidellidae Gray, 1840 Genus *Syrnola* A. Adams, 1860

Typusart: Syrnola gracillima A. Adams, 1860

Syrnola hoernesi (Koenen, 1882) Taf. 13, Fig. 7

- 1882 Turbonilla Hoernesi v. Koenen; Koenen: 263, Taf. 6, Fig. 1a-b.
- 1992 Eulimella scillae (Scacchi, 1836) Мотня et al.: 170 (поп Scacchi, 1835).
- 1 Ex. Slg. GSL. Untermiozän bis Mittelmiozän.

Weitere Organismenreste

Neben den Mollusken sind weitere Organismengruppen im Neetzer Sandstein-Geschiebe belegt:

Pflanzen: Holzreste sind häufig, aber schlecht erhalten.

Foraminiferen: mehrere benthisch lebende Arten.

Cnidaria: ein Teil eines Achsenstabes einer "*Graphularia*" ("Seefeder", Octocorallia) (Slg. DSB).

Anneliden: ein Einzelfund ist das Gehäuse eines Röhrenwurms (Slg. NVL).

Bryozoen: "Moostierchen"-Kolonien finden sich vorwiegend auf Molluskenschalen aufgewachsen.

Echinodermen: Elemente (Randplatten) von Seesternen.

Arthropoden: Ostracoden-Gehäuse ("Muschelkrebse") und Balaniden ("Seepocken").

Vertebrata: Knochenfische sind durch Otolithen und einen Zahn belegt. Ein Einzelfund ist ein nicht vollständig erhaltener Haizahn (Slg. GSL).

Spurenfossilien: Grabgänge unbekannter Erzeuger sind als kurze Bruchstücke vorhanden.

Stratigraphische Zuordnung

Die homogene Gesteinsbeschaffenheit des Geschiebes aus Neetze, das häufige Vorliegen der *Glycymeris*-Schalen im Zusammenhang sowie die Abwesenheit von abgerollten Gehäusen und Schill zeigen einen Ablagerungsraum an, welcher nicht oder nur selten von stärkerer Wasserbewegung betroffen war. Ein Eintrag von ortsfremden benthischen Organismen kann somit weitgehend ausgeschlossen werden. Ebenso wenig ist eine Mischung mit stratigraphisch älterem oder jüngerem Material anzunehmen. Allen angetroffenen Organismenresten kann somit eine im geologischen Sinne weitgehende Gleichzeitigkeit ihrer individuellen Existenz unterstellt werden.

Die Auswertung des Fossilinhaltes des Geschiebes ermöglicht es, die Ablagerungszeit des Sedimentes mehr oder weniger eng einzugrenzen. Voraussetzung hierfür ist die möglichst exakte Bestimmung des vorhandenen Materials.

Für die vorliegende Arbeit, die sich mit den Mollusken des Geschiebes befasst, wurden nur die Exemplare berücksichtigt, deren Determinierung auf Artniveau als gesichert erachtet gelang. Tabelle 1 listet diese Arten auf und gibt deren der bisherigen Literatur entnommene jeweilige stratigraphische Existenzspanne an. In der Tabelle sind der besseren Anschaulichkeit geschuldet alle aufgefundenen Arten enthalten, eine Beschränkung nur auf zur stratigraphischen

Einordnung besonders relevante Arten hätte ein gleiches Ergebnis gezeigt. So wurde das Geschiebe von Moths et al. (1992) aufgrund des Auftretens von Ecphora wiechmanni (Koenen, 1872) in das Vierlandium gestellt, was letztendlich bestätigt werden kann. Ein gewichtiges Gegenargument zur Einstufung in das Vierlandium wäre das Auftreten der nur aus dem Mittelmiozän bekannten Streptodictyon sexcostatus (Beyrich, 1856) gewesen, die sich aber jetzt als fehlbestimmt erwies und als die stratigraphisch ältere Streptodictyon cheruscus (Philippi, 1843) erkannt wurde.

Die Auswertung der Tabelle ergibt als Berührungspunkt aller Arten die Grenze zwischen dem Oberoligozän und dem Untermiozän. Am Übergang vom Oligozän zum Miozän, der gleichzeitig auch ein Übergang der Systeme Paläogen und Neogen ist, könnte durchaus ein signifikanter Faunenschnitt erwar-

tet werden, der aber bei den Mollusken des Nordseebeckens nicht zu beobachten ist. Da weder das erste noch das letzte Auftreten von Arten mit vollkommener Genauigkeit angegeben werden kann, ist bei diesen Ereignissen ein gewisser "Unschärfebereich" zu berücksichtigen, der erklären kann, warum im Geschiebe sowohl bisher auf das Oligozän als auch auf das Miozän beschränkte Arten nebeneinander vorkommen.

Der Bereich, der für eine zeitliche Einordnung nach Bewertung besonders aller stratigraphisch wichtiger Arten (u. a. Aquilofusus nanus (Tembrock, 1968), A. pereger (Beyrich, 1856), Streptodictyon gottschei (Gripp, 1914), Angistoma brueckneri (Beyrich, 1856), Sveltia gliberti A.W. Janssen, 1984) infrage kommt, ist in Tabelle 1 hellrot markiert, der Bereich, der als sehr wahrscheinlich erachtet wird, ist dunkelrot markiert.

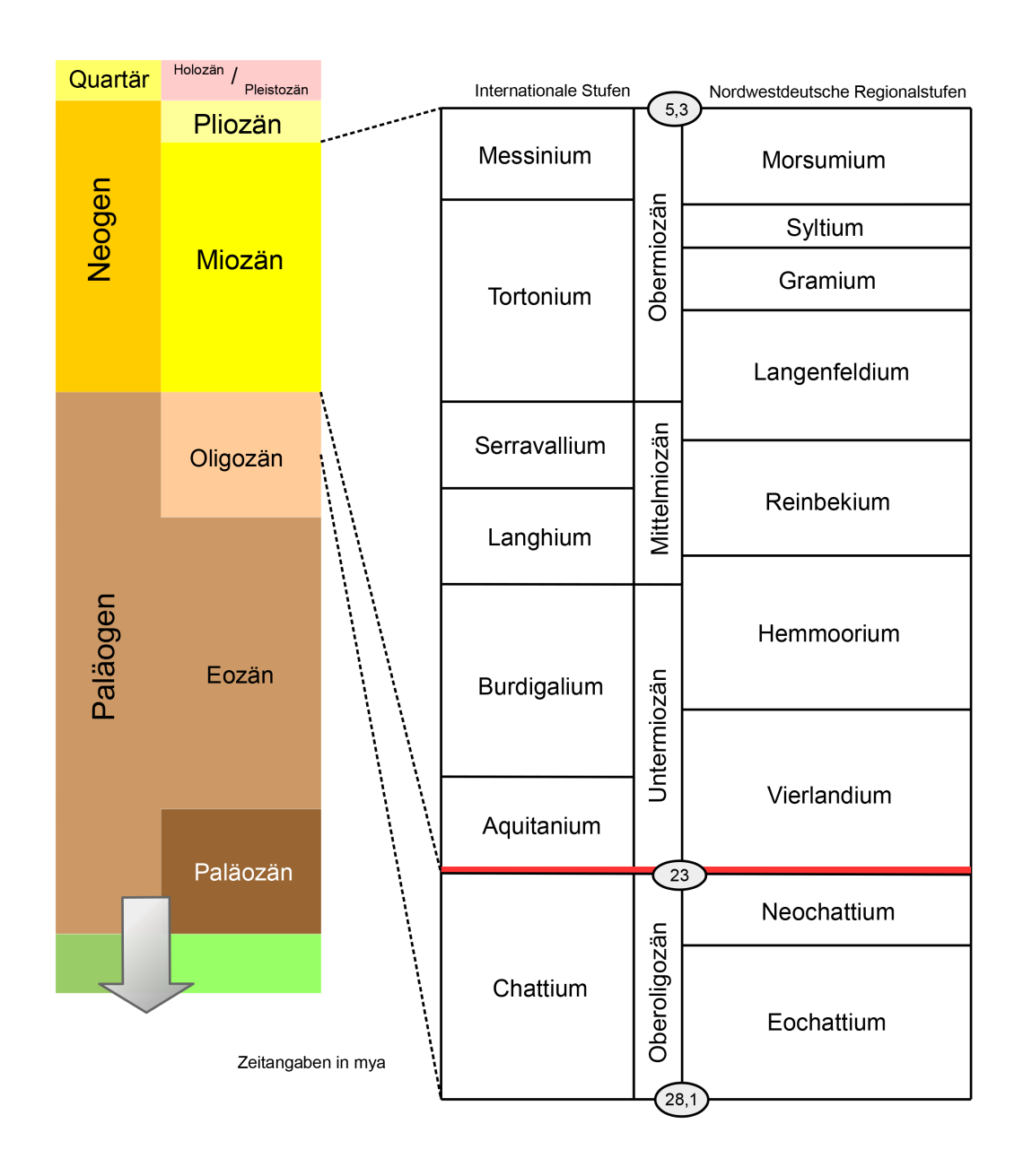
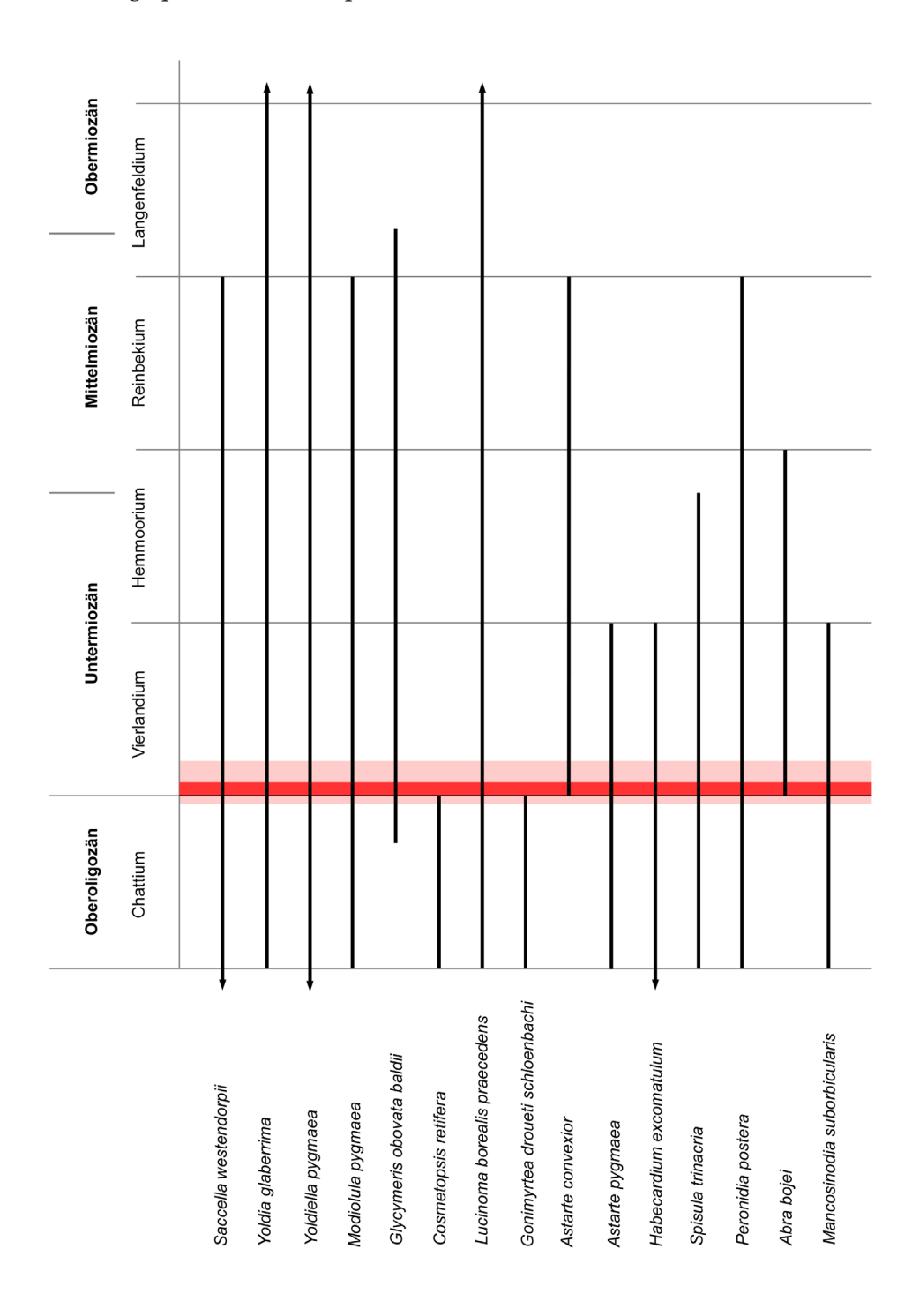
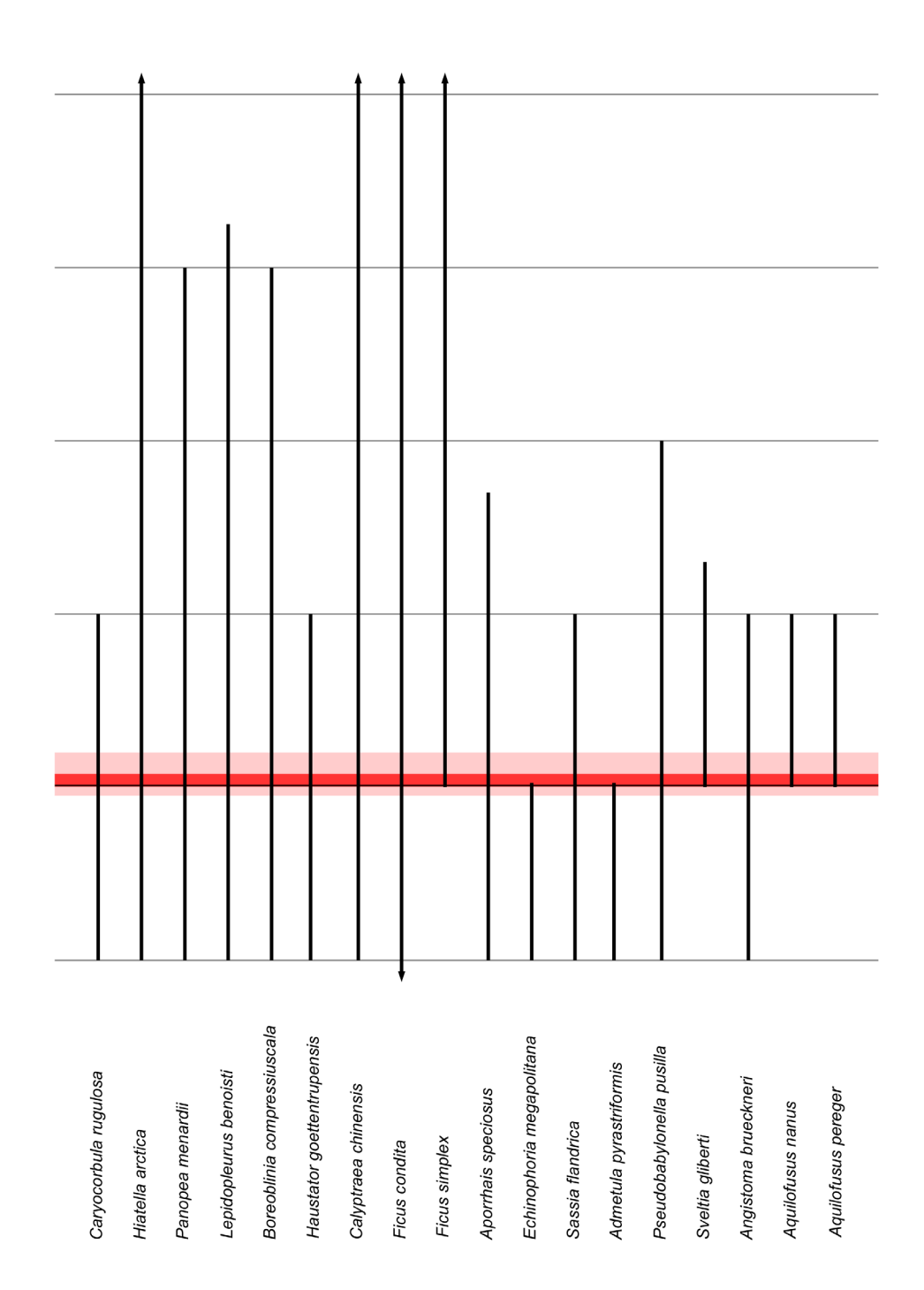


Abb. 7: Stratigraphische Position des Geschiebes aus Neetze (rote Linie).

Tab. 1: Stratigraphische Existenzspanne der Mollusken des Geschiebes aus Neetze





Chattium	Vierlandium	Hemmoorium	Reinbekium	Langenfeldium
T				
_				

Die Molluskenführung des Geschiebes aus Neetze entspricht weitestgehend den aus glazialen Schmelzwassersanden stammenden Gehäusen und Klappen, die in einer Kiesgrube in der Nähe der östlich gelegenen Nachbargemeinde Breetze gefunden wurden. Naturgemäß fehlen den Schmelzwassersanden die sehr kleinen und zerbrechlichen Formen, zudem sind auch aus anderen Stufen stammende Arten (aus Oberoligozän, Reinbekium, Langenfeldium und Pleistozän) präsent, die Gehäuse aus dem frühen Vierlandium stellen aber den Hauptanteil. Auffällige und häufige Arten aus Breetze sind neben der stark dominierenden Glycymeris obovata baldii Glibert & van de Poel, 1965 die Gastropoden Haustator goettentrupensis (Cossmann, 1899), Aporrhais speciosus (Schlotheim, 1820), Streptodictyon cheruscus (Philippi, 1843), Streptodictyon gottschei (GRIPP, 1914),

Angistoma brueckneri (Beyrich, 1856), Sveltia gliberti A.W. Janssen, 1984, Ecphora wiechmanni (Koenen, 1872), Sassia flandrica (Koninck, 1837), Orthosurcula steinvorthi (Koenen, 1872) und Eopaziella capito (Philippi, 1843). Mit Ausnahme der beiden letztgenannten Arten finden sich alle weiteren auch im Geschiebe aus Neetze, dafür konnten in Breetze Aquilofusus pereger (BEYRICH, 1856) und A. nanus (Tembrock, 1968) bisher nicht nachgewiesen werden (aus Breetze stand allerdings nur Material der Slg. GSL zur Verfügung). Gleichwohl erscheint die Ubereinstimmung aber doch so hoch, dass sowohl für den Geschiebeblock aus Neetze als auch für die im Schmelzwassersand von Breetze gefundenen Schalen weitgehend gleiches Alter und auch in etwa das gleiche Herkunftsgebiet vermutet werden kann.

Tafeln 1-13

Verwendete Abkürzungen:

Maßangaben (H = Höhe, B = Breite, L = Länge) beziehen sich jeweils auf das Fossil, nicht auf mit abgebildetes Gestein.

Bei Bivalven: lv = linke Klappe, rv = rechte Klappe.

Sammlungen: Naturwissenschaftlicher Verein Lüneburg (NVL), Schumacher (DSB) und Stein (GSL).

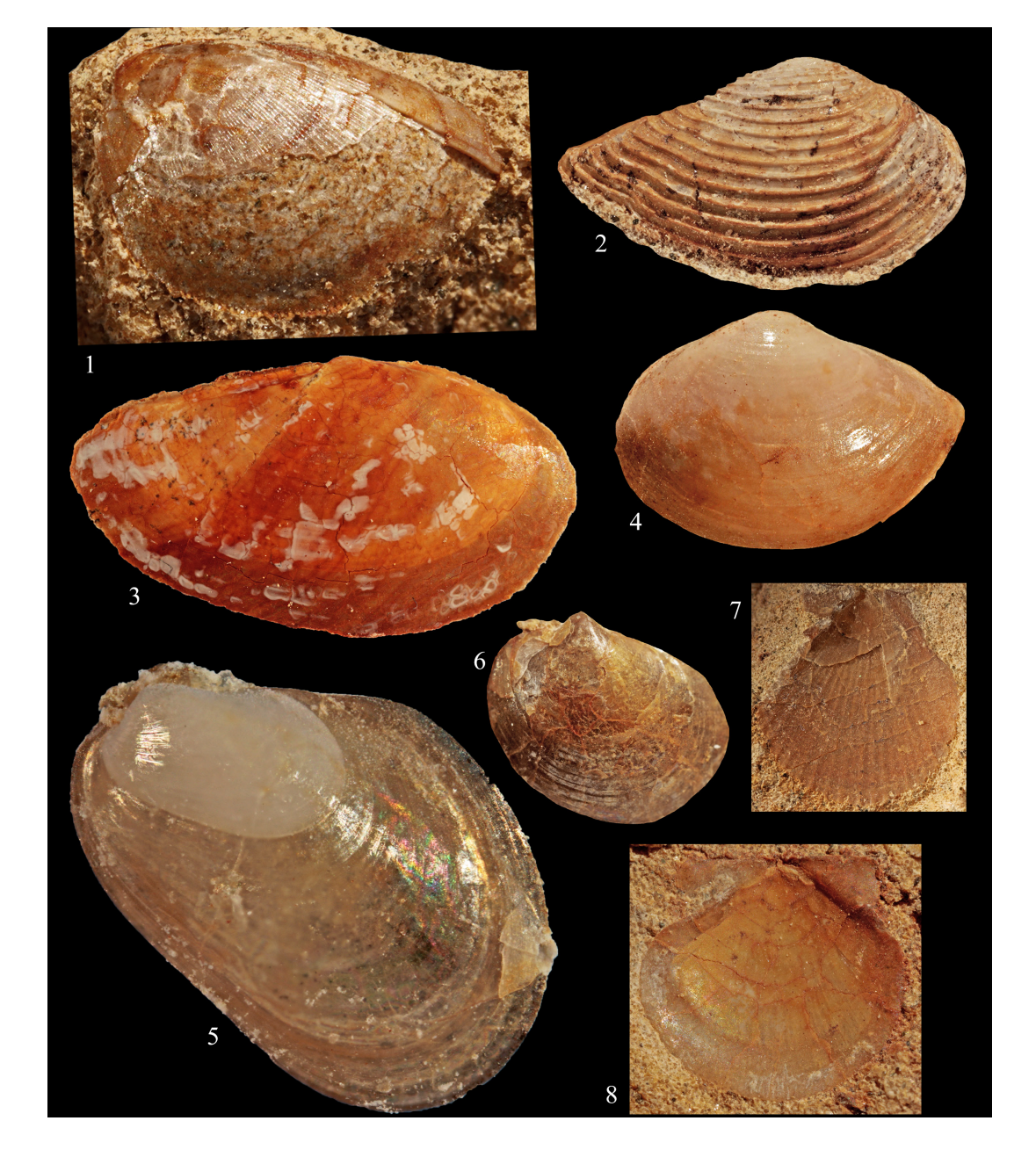


Fig. 1: Nucula sp. 1, rv; L: 3,4 mm; DSB. Fig. 2: Saccella westendorpii (Nyst in Nyst & Westendorp, 1839), rv; L: 6,3 mm; GSL. Fig. 3: Yoldia glaberrima (Münster in Goldfuss, 1837), rv; L: 16 mm; DSB. Fig. 4: Yoldiella pygmaea (Münster in Goldfuss, 1837), lv; L: 3,4 mm; DSB. Fig. 5: Modiolula pygmaea (Philippi, 1843), lv; L (diagonal): 2,4 mm; GSL. Fig. 6: Anomiidae sp., lv; L: 5,7 mm; GSL. Fig. 7: Pectinidae sp., rv, Innenseite; H: 7,5 mm DSB. Fig. 8: Similipecten sp., rv, Innenseite; L: 5,1 mm; DSB.



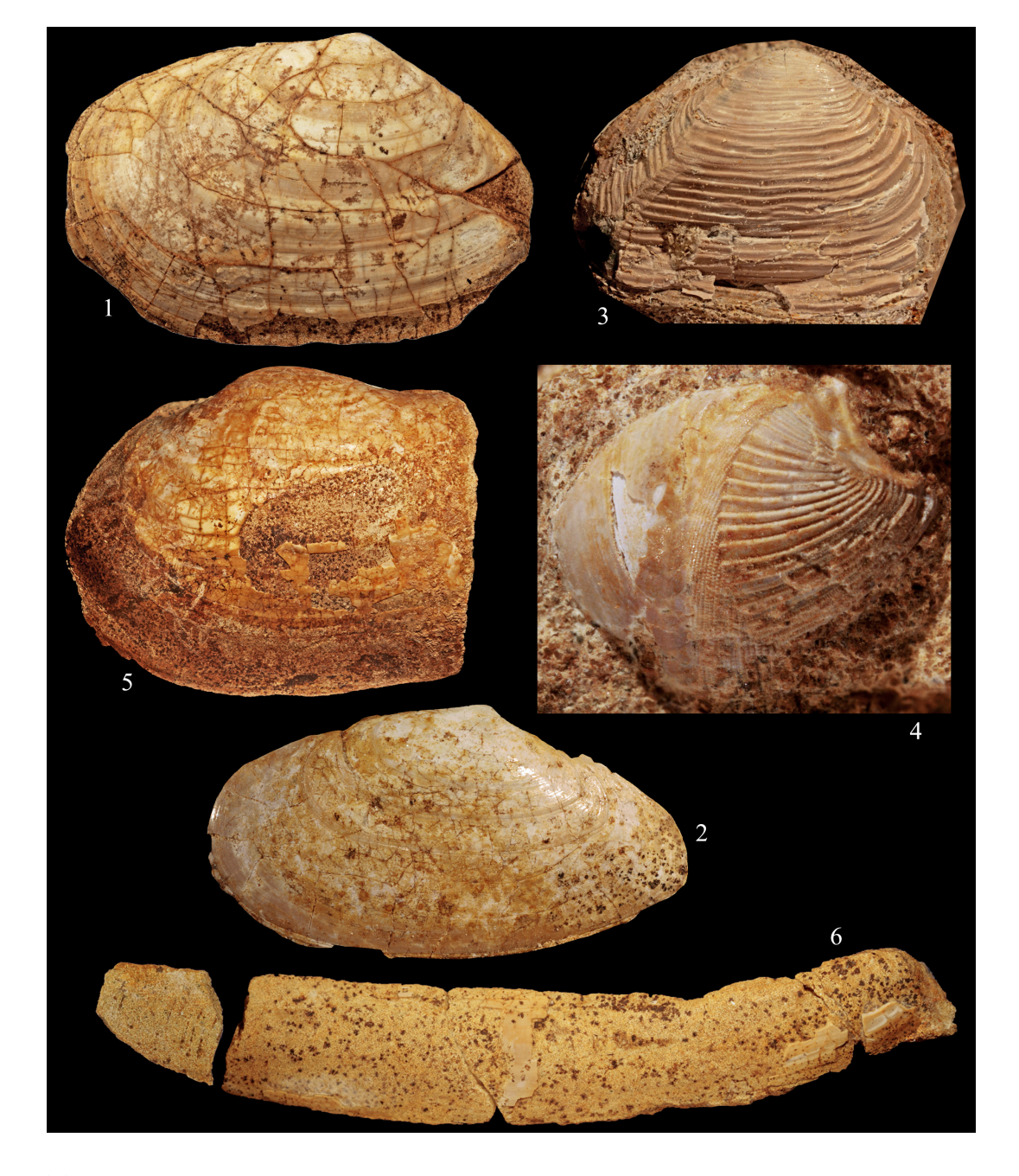
Fig. 1: Nucula sp. 2, lv; L: 2,2 mm; DSB. Fig. 2: Nucula sp. 1, lv: L: 2 mm; NVL. Fig. 3: Ennucula sp., rv; L: 6 mm; NVL. Fig. 4: Spisula trinacria (Semper, 1861), lv; L: 5,6 mm; NVL. Fig. 5: Hiatella arctica (Linné, 1767), rv; L: 4,7 mm; GSL.



Fig. 1: Glycymeris obovata baldii Glibert & van de Poel, 1965, lv, juvenil; L: 9,2 mm; GSL. Fig. 2: Glycymeris obovata baldii Glibert & van de Poel, 1965, doppel-klappiges Ex. eingespült in einem größeren doppelklappigem Ex.; Bildhöhe: 40 mm; DSB. Fig. 3: Glycymeris obovata baldii Glibert & van de Poel, 1965, lv; B (abgebildet): 37 mm; DSB. Fig. 4: Cosmetopsis retifera (Semper, 1861), lv; L: 3,2 mm; GSL. Fig. 5: Lucinoma borealis praecedens (Koenen, 1868), rv; H: 10,4 mm; DSB. Fig. 6: Mancosinodia suborbicularis (Goldfuss, 1841), lv; L: 3,4 mm; GSL.

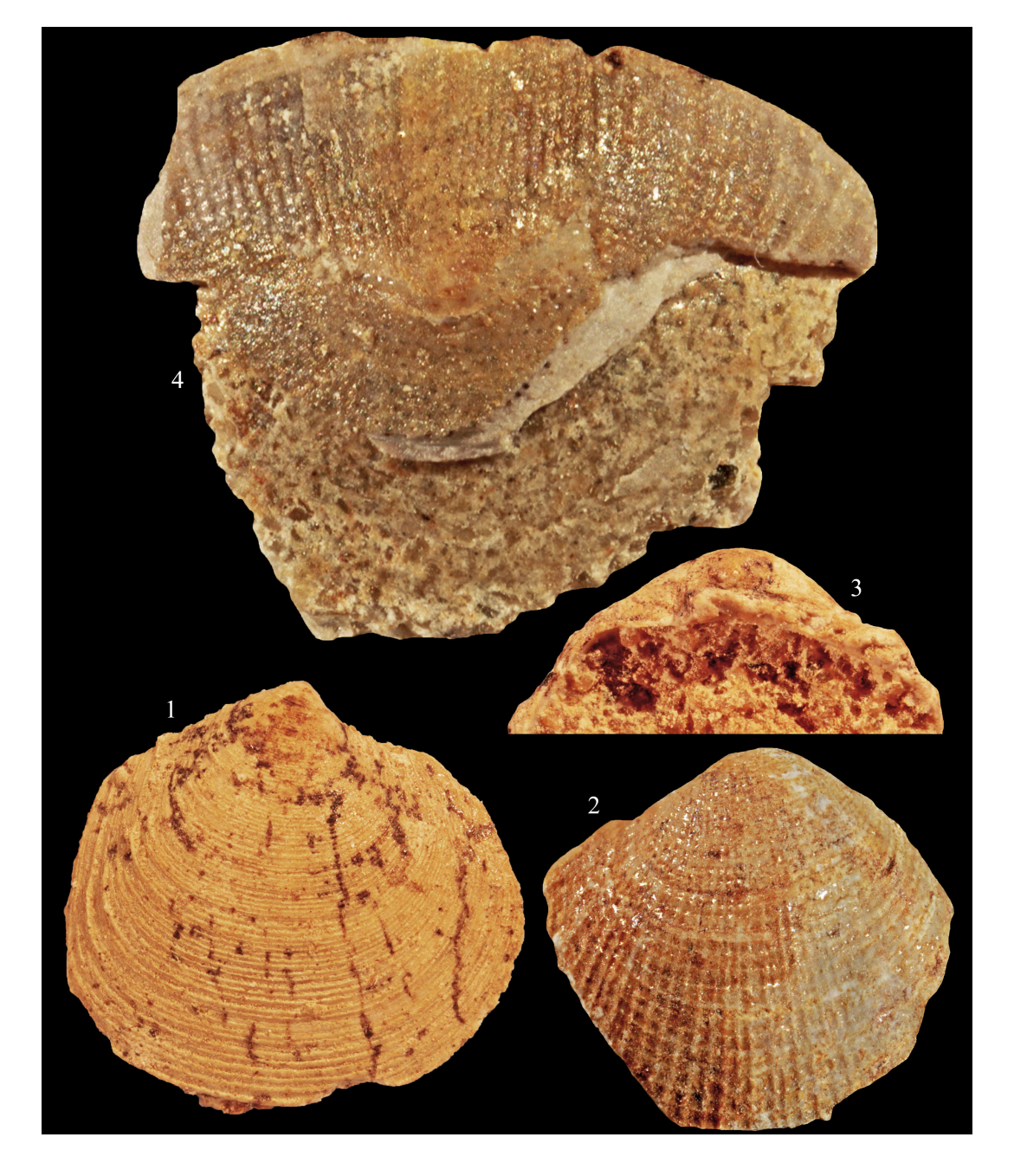


Fig. 1: Cyclocardia sp., lv; L: 6 mm; DSB. Fig. 2: Astarte convexior Anderson, 1959, lv; L: 5,1 mm; GSL. Fig. 3: Astarte pygmaea Münster in Goldfuss, 1837, lv; L: 2,5 mm; DSB. Fig. 4: Habecardium excomatulum (Glibert & van de Poel, 1970); L: 12 mm (gekippt dargestellt); DSB. Fig. 5: Parvicardium sp., rv; L: 5,8 mm; DSB. Fig. 6: Glossus sp., lv; L: 5,5 mm; DSB.



Tafel 5

Fig. 1: Peronidia postera (BEYRICH in KOENEN, 1868), lv; L: 23 mm; DSB. Fig. 2: Abra bojei Anderson, 1959, lv; L: 15 mm; DSB. Fig. 3: Caryocorbula rugulosa (Koenen in Speyer, 1884), rv; L: 8 mm; DSB. Fig. 4: Teredinidae sp., rv; L: 3,5 mm; DSB. Fig. 5: Panopea menardii Deshayes in Bory de Saint-Vincent, 1828, lv; L: 44 mm (nicht vollständig); DSB. Fig. 6: Ensis sp., rv; L: 47 mm (Steinkern mit wenigen Schalenresten); DSB.



Tafel 6

Fig. 1: Gonimyrtea droueti schloenbachi (Koenen, 1868), rv; L: 4,6 mm; NVL. Fig. 2: Bivalvia indet.; L: 3 mm; NVL. Fig. 3: Bivalvia indet., unvollständig erhaltene Schloss-Region; B: 2,3 mm; NVL. Fig. 4: Lepidopleurus benoisti (Rochebrune, 1882), erhaltene Breite: 2,8 mm; NVL.

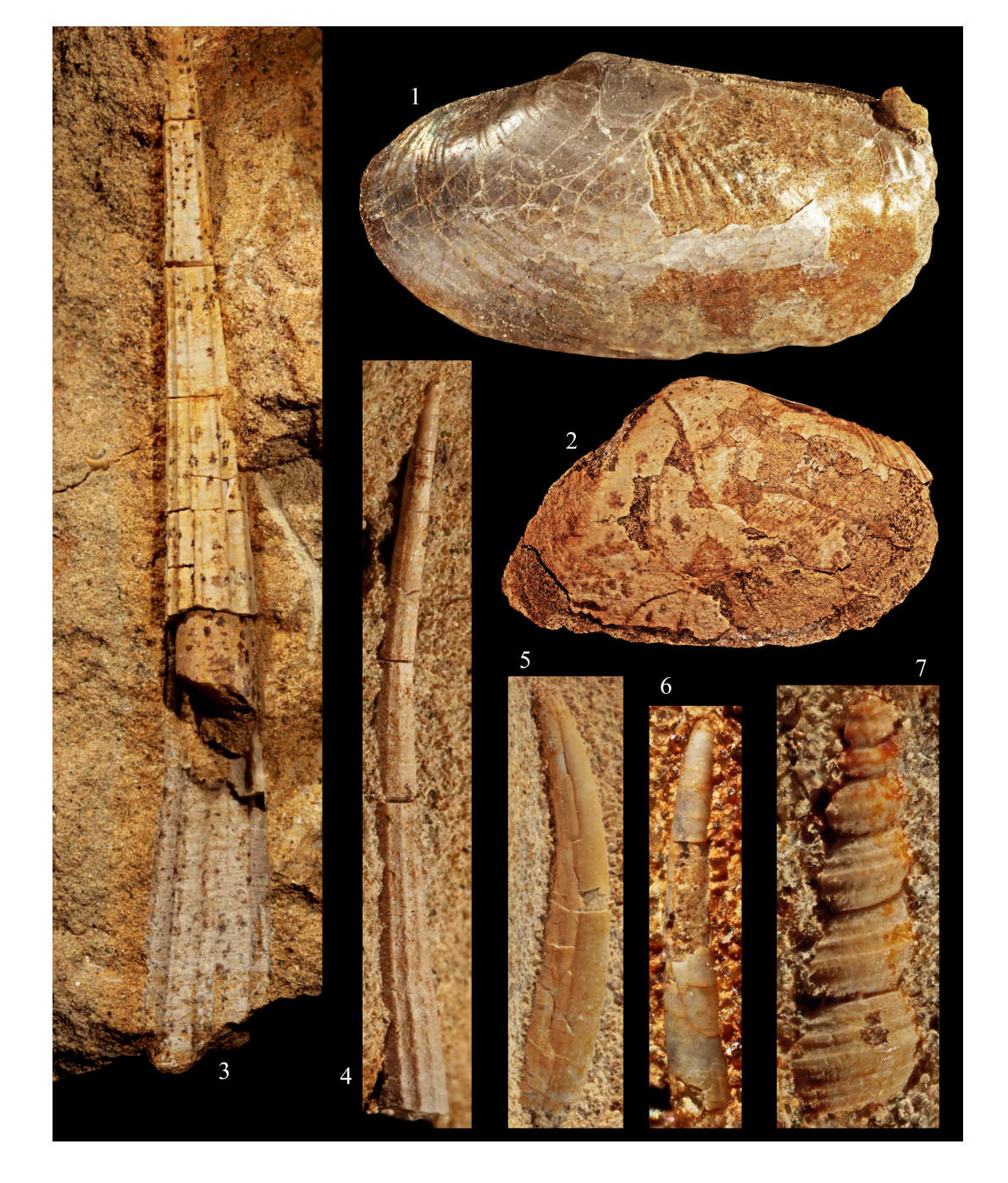


Fig. 1: Lyonsia cf. norwegica (GMELIN, 1791), rv; L: 14 mm; DSB. Fig. 2: Thracia sp., rv; L: 49 mm; DSB. Fig. 3: Dentalium cf. geminatum GOLDFUSS, 1841; L: 37 mm; DSB. Fig. 4: Dentalium cf. geminatum GOLDFUSS, 1841; L: 11 mm; DSB. Fig. 5: Gadilidae sp. 1; L: 6,4 mm; DSB. Fig. 6: Gadilidae sp. 1; L: 2,2 mm; GSL. Fig. 7: Haustator goettentrupensis (COSSMANN, 1899); H: 2,7 mm; DSB.

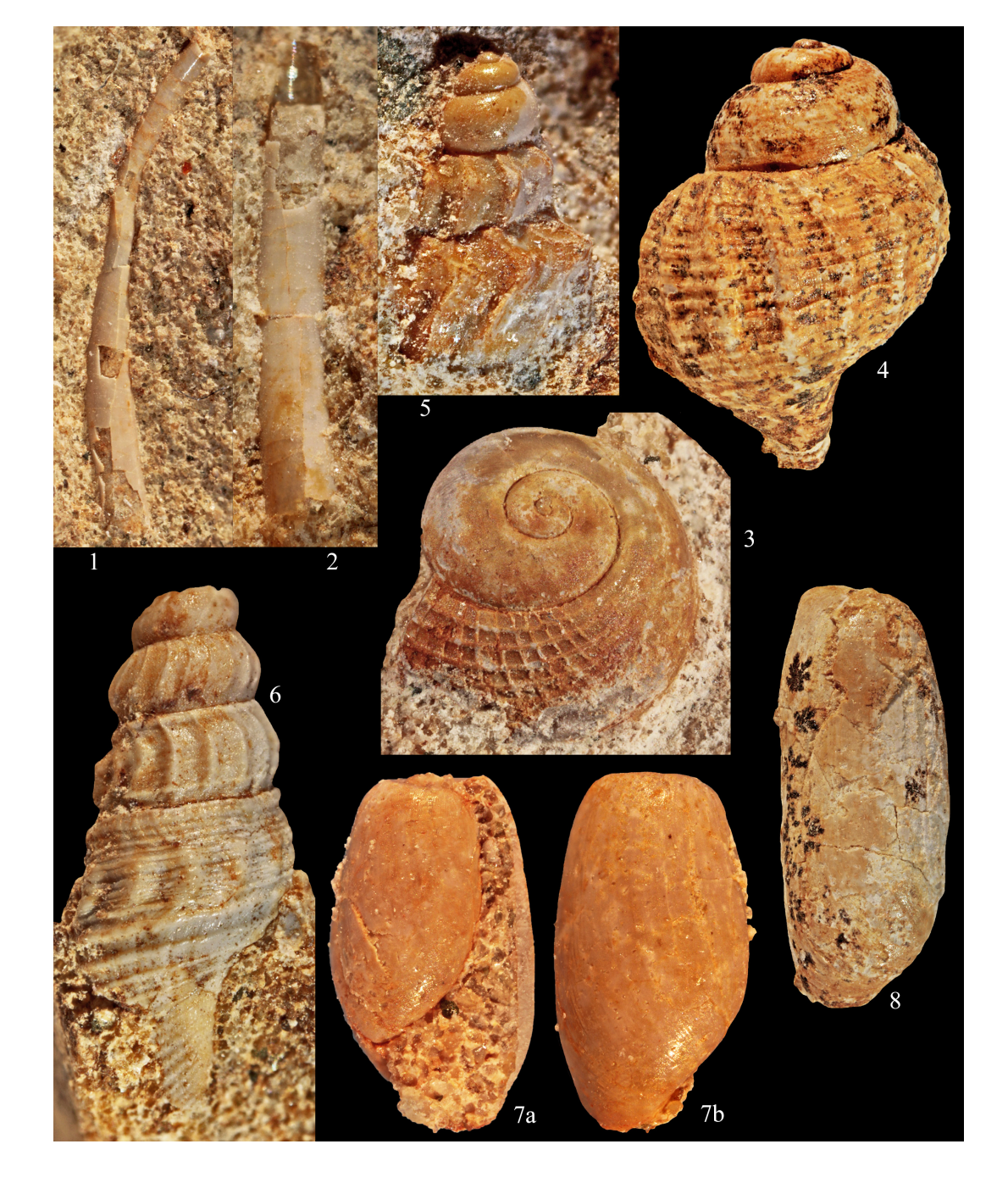


Fig. 1: Gadilidae sp. 1; L: 6 mm; DSB. Fig. 2: Gadilidae sp. 2: L: 3,3 mm; DSB. Fig. 3: Ficus condita (Brongniart, 1823); B: 2,3 mm; NVL. Fig. 4: Admetula pyrastriformis (Schlotheim, 1820); H: 3,9 mm; NVL. Fig. 5: Pagodula semperi (Koenen, 1872); H: 1,7 mm; NVL. Fig. 6: Gemmula subdenticulata (Münster in Goldfuss, 1844); H: 4,2 mm; NVL. Fig. 7a-b: Retusa sp., H: 2,1 mm; DSB. Fig. 8: Cylichna sp.; H: 5,6 mm; NVL.

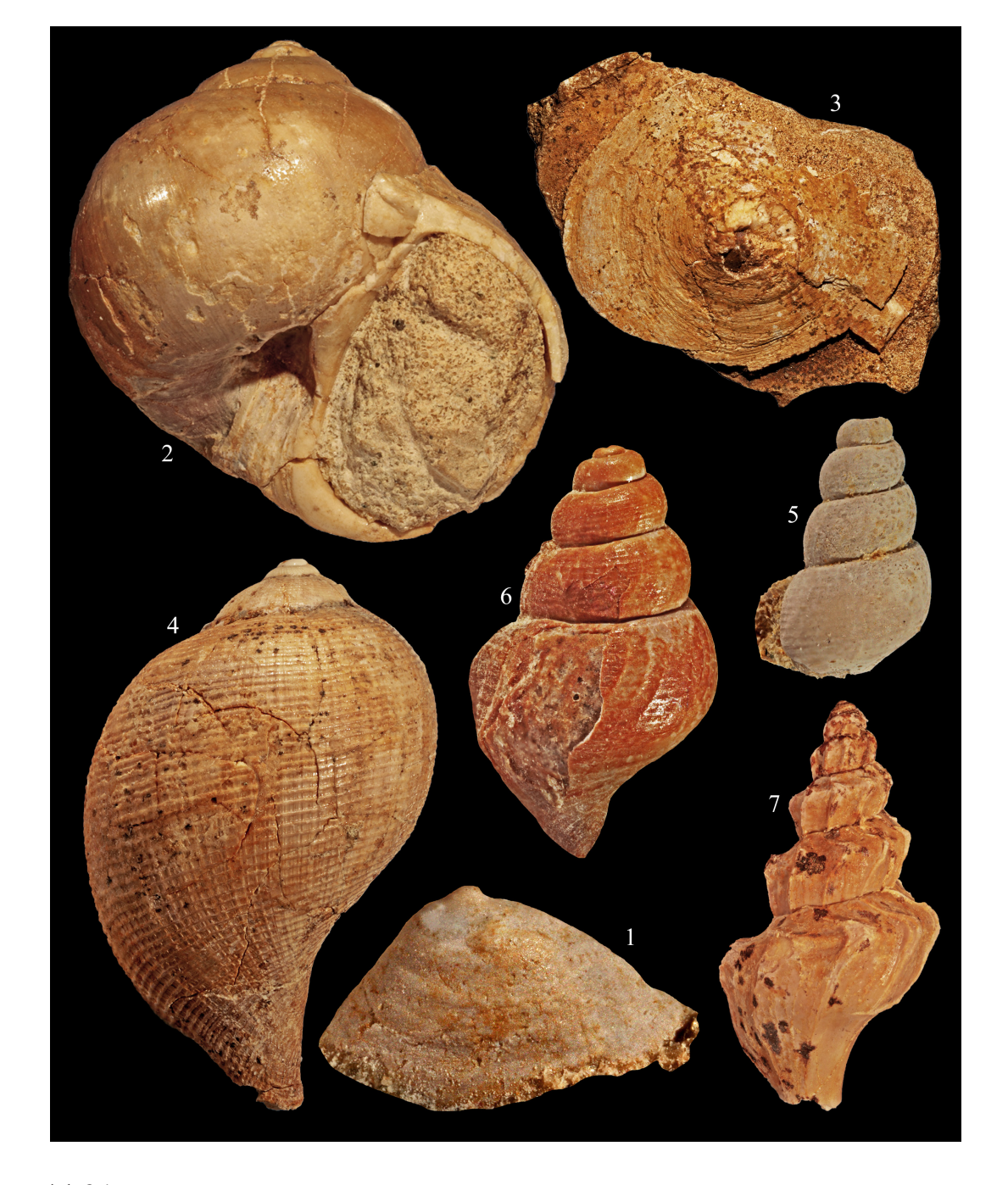


Fig. 1: Boreoblinia compressiuscala (Karsten, 1849); L: 1,9 mm; DSB. Fig. 2: Euspira sp.; H: 10,5 mm; DSB. Fig. 3: Calyptraea chinensis (Linnæus, 1758); Durchmesser: 22 mm; DSB. Fig. 4: Ficus simplex (Beyrich, 1854); H: 23 mm; DSB. Fig. 5: Aporrhaidae sp., juvenil; H: 3,9 mm; DSB. Fig. 6: Aporrhais speciosus (Schlotheim, 1820), juvenil; H: 5,9 mm; DSB. Fig. 7: Pagodula semperi (Koenen, 1872); H: 5,8 mm; DSB.

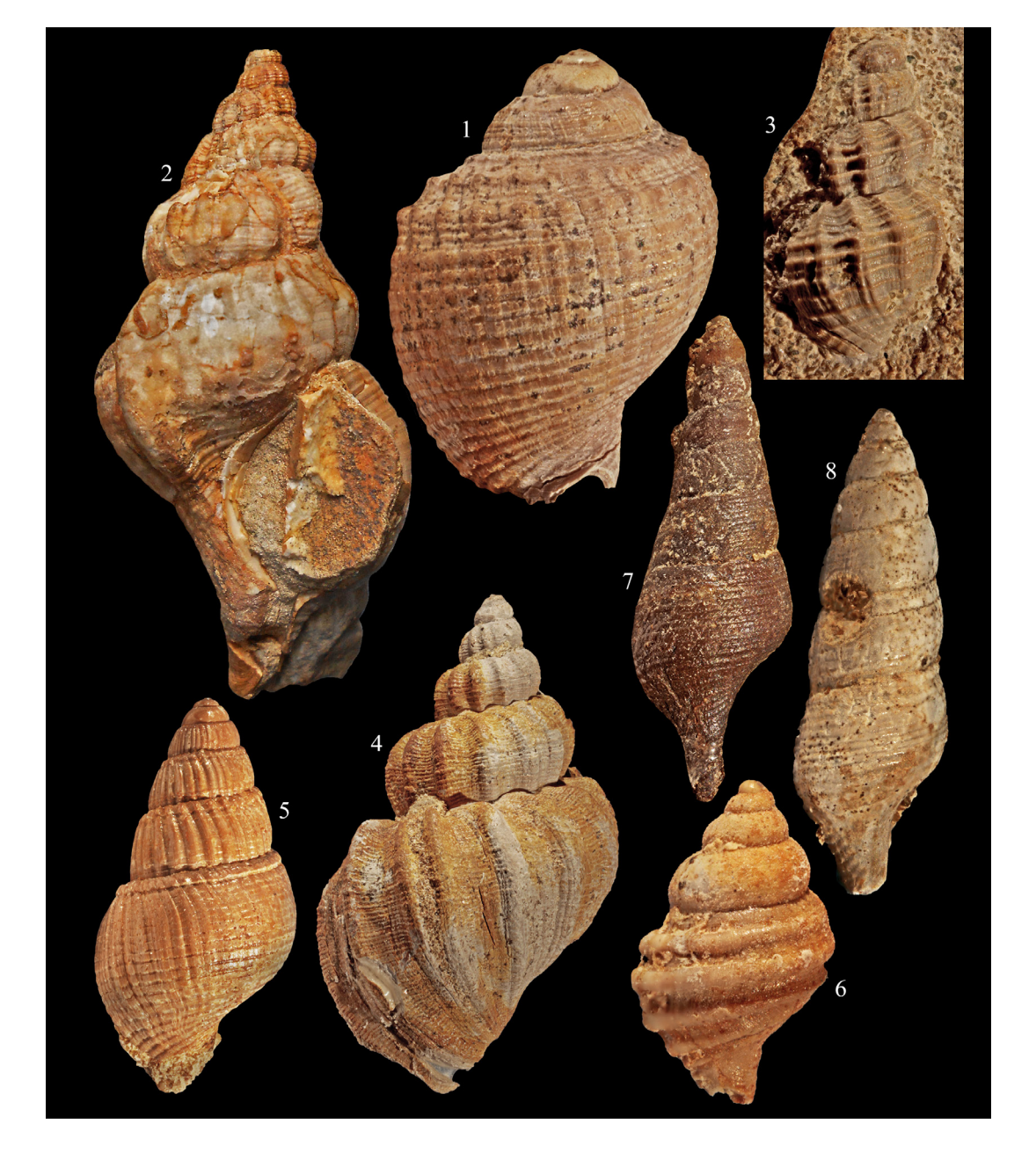


Fig. 1: Echinophoria megapolitana (BEYRICH, 1848), juvenil; H: 7,2 mm; GSL. Fig. 2: Sassia flandrica (Koninck, 1837); H: 48 mm; DSB. Fig. 3: Pseudobabylonella pusilla (Philippi, 1843); H: 4,1 mm; DSB. Fig. 4: Sveltia gliberti A.W. Janssen, 1984; H: 17,6 mm; GSL. Fig. 5: Tritia schroederi (Kautsky, 1925); H: 5,8 mm; GSL (aus Stein, 2019: Taf. 1, Fig. 1; mit freundl. Genehmigung K. Hoedemakers). Fig. 6: Ecphora wiechmanni (Koenen, 1872), juvenil; H: 2,5 mm; GSL. Fig. 7: Fusiturris duchastelii flexiplicata (Nyst, 1861); H: 9,3 mm; GSL. Fig. 8: Fusiturris duchastelii flexiplicata (Nyst, 1861), sehr schlankes juveniles Ex.; H: 4,5 mm; DSB.



Tafel 11

Fig. 1a-b: Angistoma brueckneri (Beyrich, 1856), sehr schlankes Gehäuse; H: 37 mm (1b: apikaler Bereich mit Wachstums-Anomalie); DSB. Fig. 2: Angistoma brueckneri (Beyrich, 1856); H: 34 mm; DSB. Fig. 3: Asthenotoma obliquinodosa (Sandberger, 1860); H: 7 mm; GSL. Fig. 4: Bathytoma jugleri (Philippi, 1847); H: 27 mm; DSB. Fig. 5: Gemmula subdenticulata (Münster in Goldfuss, 1844); H: 10,6 mm; DSB.

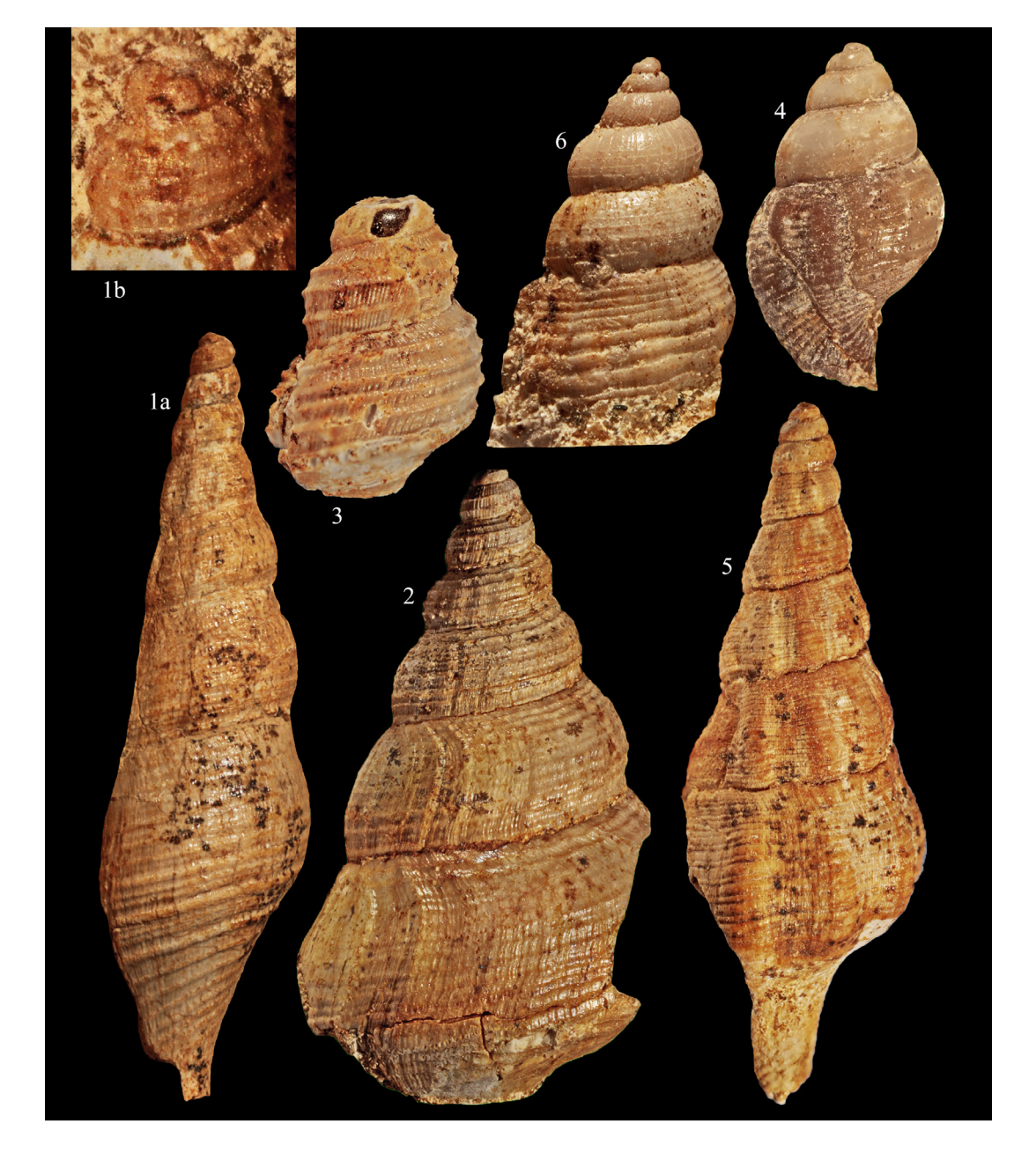
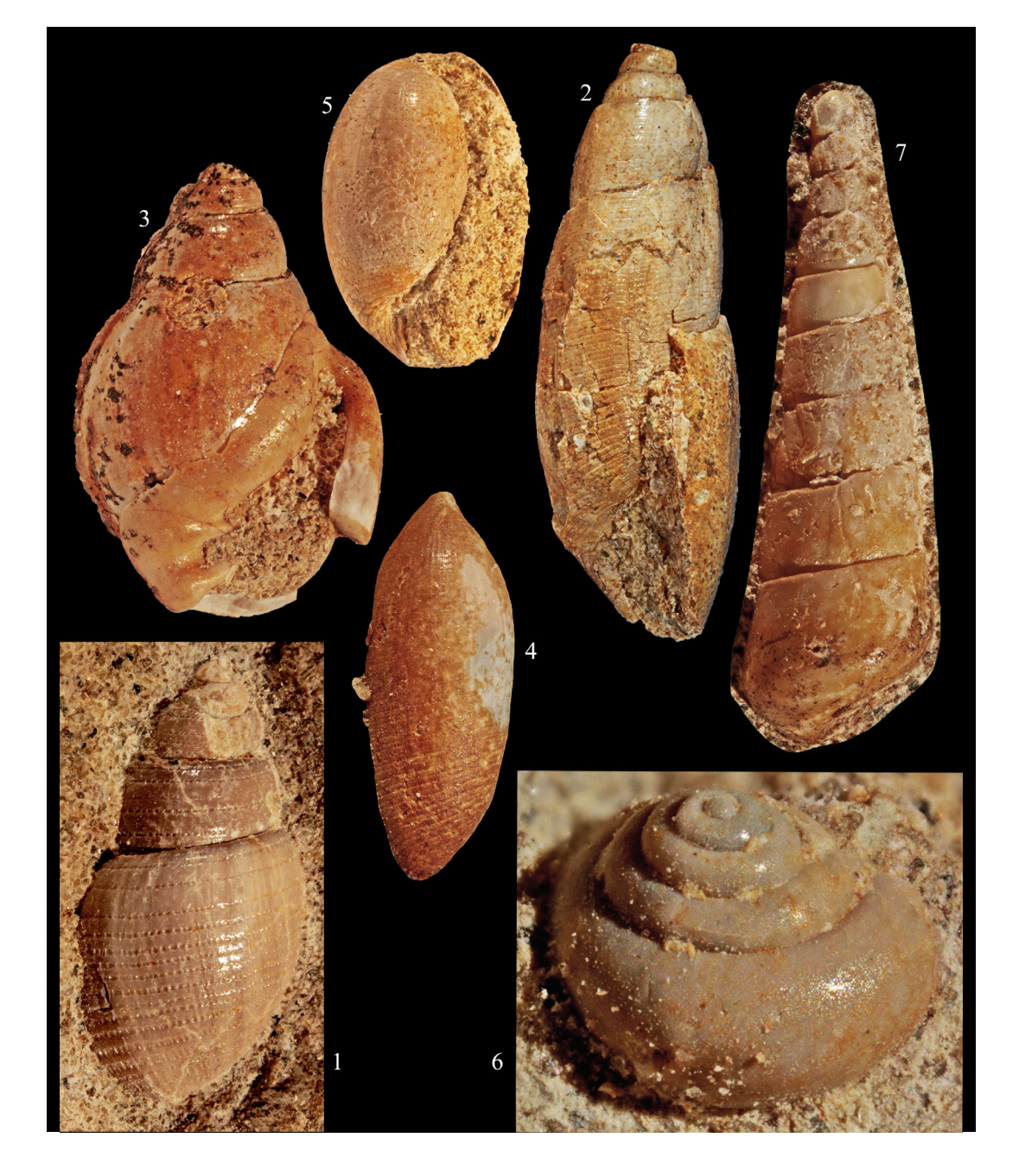


Fig. 1a-b: Aquilofusus nanus (Tembrock, 1968); H: 16 mm (das abgebildete Exemplar befindet sich zusammen mit weiteren Fossilien noch im Gestein, die abgeflacht erscheinende linke Seite ist auf Freistellungsprobleme bei der Aufnahme zurückzuführen) (1b: Apex); DSB. Fig. 2: Aquilofusus pereger (Beyrich, 1856); H: 14,4 mm; GSL. Fig. 3: Aquilofusus pereger (Beyrich, 1856), juvenil; H: 2,6 mm; DSB. Fig. 4: Streptodictyon cheruscus (Philippi, 1843), juvenil; H: 2,7 mm; GSL. Fig. 5: Streptodictyon gottschei (Gripp, 1914); H: 15 mm; DSB. Fig. 6: Streptodictyon gottschei (Gripp, 1914), juvenil; H: 2,9 mm; GSL.



Tafel 13

Fig. 1: Acteon philippii (Koch in Koch & Wiechmann, 1868); H: 4,4 mm; DSB. Fig. 2: Crenilabium terebelloides (Philippi, 1843); H: 8,1 mm; DSB. Fig. 3: Ringicula ventricosa (J. de C. Sowerby, 1824); H: 5,5 mm; DSB. Fig. 4: Volvulella acuminata (Bruguière, 1792); H: 3,7 mm; DSB. Fig. 5: Roxania utriculus (Brocchi, 1814); H: 5,5 mm; DSB. Fig. 6: Limacina valvatina (Reuss, 1867); B: 2,2 mm; GSL. Fig. 7: Syrnola hoernesi (Koenen, 1882); H: 4,6 mm; GSL.

Wir bedanken uns für Hilfen bei der Erstellung dieser Arbeit bei:

Renate Bönig-Müller, Lüneburg; Kristiaan Hoedemakers, Palaeo Publishing & Library vzw., Mortsel, Belgien; Ronald Janssen, Senckenberg Forschungsinstitut und Naturmuseum, Frankfurt; William G. Lyons, St. Petersburg, Florida; Enrico Schwabe, Zoologische Staatssammlung München; Martin Avery Snyder, Department of Malacology, Academy of Natural Sciences of Philadelphia; Ulrich Wieneke, Murnau. Herr Dr. Ronald Janssen unternahm zudem freundlicherweise eine kritische Durchsicht des Manuskriptes.

Literatur

- Anderson, H.-J. (1959). Die Muschelfauna des nordwestdeutschen Untermiozän. *Palaeontographica*, **113** (4–6): 61–179, Tab. 1–2, Taf. 13–18.
- Anderson, H.-J. (1964). Die miozäne Reinbek-Stufe in Nord- und Westdeutschland und ihre Mollusken-Fauna. Fortschritte in der Geologie von Rheinland und Westfalen, 14: 31–390, Taf. 1–52.
- Anistratenko, O.Y., Burger, A.W. & Anistratenko, V.V. (2010). A striking convergence in conchological morphology between Oligocene-Miocene lotiids (Mollousca, Patellogastropoda) from the North Sea Basin and the Paratethys. *Cainozoic Research*, 7 (1–2): 109–117.
- Beets, C. (1950). Oligozane und wahrscheinlich miozane Gastropoden aus dem Peel-Gebiete (südliche Niederlande). *Mededeelingen van de Geologische Stichting, Serie C IV 1 –* No. **8**: 1–78, Taf. 1–4.
- BEYRICH, [E.] (1848). Zur Kenntniss des tertiären Bodens der Mark Brandenburg. Archiv für Mineralogie, Geognosie, Bergbau und Hüttenkunde, 22 (1): 3–102.
- Beyrich, [E.] (1854–1856). Die Conchylien des norddeutschen Tertiärgebirges. Zeitschrift der Deutschen geologischen Gesellschaft.
 - (1854a); **6** (2): Zweites Stück: *Mitra, Columbella, Terebra, Buccinum, Purpura, Cassis, Cassidaria, Rostellaria, Aporrhais*: 408–500, Taf. 9–14 (6–11).
 - (1854b); **6** (4): Drittes Stück: *Tritonium, Murex, Tiphys, Spirilla, Leiostoma, Py-rula*: 726–781, Taf. 15–18 (12–15).
 - (1856a); **8** (1): Viertes Stück: *Fusus*, *Turbinella*: 21–88, Taf. 1–10 (16–25).
 - (1856b); **8** (4): Fünftes Stück: *Cancellaria*: 553–588, Taf. 17–19 (26–28).
- Bieler, R., Carter, J.G. & Coan, E.V. (2010). Classificatin of Bivalve Families. *Malacologia*, **52** (2): 113–133.

- Bory de Saint-Vincent, [M.] (Ed.) (1828). Dictionnaire classique d'histoire naturelle Tome triezième: 1–648, Taf. [1–9]; Paris (Rey et Gravier, B. Frères).
- Bouchet, P., Rocroi, J.-P., Hausdorf, B., Kaim, A., Kano, Y., Nützel, A., Parkhaev, P., Schrödl, M. & Strong, E.E. (2017). Revised Classification, Nomenclator and Typification of Gastropod and Monoplacophoran Families. *Malacologia*, **61** (1–2): 1–526.
- Brocchi, G. (1814). Conchiologia fossile Subapennina con osservazioni geologiche sugli Apennini e sul suolo adiacente. Tomo primo: 1–56, I–LXXX, 1–240; Tomo secondo: 241–712, Taf. 1–16; Milano (Stamperia Reale).
- Brongniart, A. (1823). Mémoire sur les terrains de Sédiment supérieurs calcaréo-trappéens du Vicentin, et sur quelques terrains d'Italie, de France, d'Allemagne, etc., qui peuvent se rapporter a la même époque: I–IV, [1], 1–86, Taf. 1–6; Paris (F.G. Levrault).
- Bruguière, J.G. (1789, 1792). Encyclopédie méthodique. Histoire naturelle des vers. Tome premier: 1–344 (1789); i–xviij, 345–758 (1792); Paris (Panckoucke).
- Cadée, M.C. & Janssen, A.W. (1994). A taxonomic revision of NW European Oligocene and Miocene Fasciolariidae traditionally included in the genus *Streptochetus* (Mollusca, Gastropoda). *Contributions to Tertiary and Quaternary Geology*, **31** (2–4): 31–107.
- COENEN-STAß, D. (2017). Ein Tertiärgeschiebe auf Wanderschaft Der Weg eines geteilten Kalksandstein-Geschiebes durch geologische Zeiten, vom Fundort in Neetze und Verbleib in Scharnebeck bis zur Ausstellung im Museum Lüneburg: Video Dokumentation, 63 min.; Lüneburg (Museum Lüneburg).
- Cossmann, M. (1899). Rectifications de nomenclature. Revue critique de Paléozoologie, 3: 176–178.
- Dell'Angelo, B., Lesport, J.-F., Cluzaud, A. & Sosso, M. (2018). The Oligocene to Miocene chitons (Mollusca: Polyplacophora) of the Aquitaine Basin, southwestern France, and Ligerian Basin, western France. Part 1: Leptochitonidae, Hanleyidae, Ischnochitonidae, Chitonidae, Spinochitonidae fam. nov. and Schizochitonidae. *Bollettino Malacologico*, **54** (1): 1–47.
- GLIBERT, M. & VAN DE POEL, L. (1965). Les bivalvia fossiles du cénozoïque étranger des collections de l'Institut Royal des Sciences Naturelles de Belgique I Palaeotaxodontida et Eutaxodontia. *Institut Royal des Sciences Naturelles de Belgique Memoires Deuxième Série*, 77: 1–112.
- GLIBERT, M. & VAN DE POEL, L. (1970). Les bivalvia fossiles du cénozoïque étranger des collections de l'Institut Royal des Sciences Naturelles de Belgique VI (fin)

- Heteroconchia (2) Astartedontina et Septibranchia. *Institut Royal des Sciences Naturelles de Belgique Memoires Deuxième Série*, **84**: 1–185.
- GMELIN, J.F. (1791). Caroli a Linné Systema Naturae [Ed. 13]. Tom. I. Pars VI: 3021–3910; Lipsiæ (G.E. Beer).
- Goldfuss, A. (1833–1844). Petrefacta Germaniae tam ea quae in Museo Universitatis Regiae Borussicae Fridericiae Wilhelmiae Rhenanae servantur quam alia quaecunque in Museis Hoeninghusiano Muensteriano aliisque extant iconibus et descriptionibus illustrata. Abbildungen und Beschreibungen der Petrefacten Deutschlands und der angrenzenden Länder, unter Mitwirkung des Grafen Georg zu Münster: Düsseldorf (Arnz).
 - Zweiter Theil: 1–68, Taf. 72–96 (1833); 69–140, Taf. 97–121 (1835); 141–224, Taf. 122–146 (1837); 225–312, Taf. 147–165 (1841a).
 - Dritter Theil: 1-20, Taf. 166-171 (1841b); I-IV, 21-128, Taf. 172-200 (1844).
- Gripp, K. (1914). Über eine untermiozäne Molluskenfauna von Itzehoe. Mitteilungen aus dem Mineralogisch-Geologischen Institut in Hamburg / 5. Beiheft zum Jahrbuch der Hamburgischen Wissenschaftlichen Anstalten, 31: 1–40, Taf. 1–3.
- Janssen, A.W. (1984). An Account of the Cancellariidae (Gastropoda) of Winterswijk-Miste (Miocene, Hemmoorian), the Netherlands. *Scripta Geologica*, **68**: 1–39.
- JANSSEN, R. (1978). Die Mollusken des Oberoligozäns (Chattium) im Nordsee-Becken. 1. Scaphopoda, Archaeogastropoda, Mesogastropoda. Archiv für Mollusken-kunde, 109 (1/3): 137–227.
- Janssen, R. (1979a). Die Mollusken des Oberoligozäns (Chattium) im Nordsee-Becken. 2. Neogastropoda, Euthyneura, Cephalopoda. *Archiv für Molluskenkunde*, **109** (4/6): 277–376.
- Janssen, R. (1979b). Revision der Bivalvia des Oberoligozäns (Chattium, Kasseler Meeressand). *Geologische Abhandlungen Hessen*, **78**: 1–181, Taf. 1–4.
- JANSSEN, R. (2015). A review of the Oligocene Limopsidae of the North Sea Basin (Mollusca: Bivalvia). Geologica Saxonica – Journal of Central European Geology, 61 (1): 7–33.
- Karsten, H, (1849), Verzeichniß der im Rostocker academischen Museum befindlichen Versteinerungen aus dem Sternberger Gestein. Rectorats-Programm: I–IV, 5–42; Rostock (Adler's Erben).
- KAUTSKY, F. (1925). Das Miozän von Hemmoor und Basbek-Osten. *Abhandlungen der Preußischen Geologischen Landesanstalt Neue Folge*, **97**: 1–255, Taf. 1–12.

- Koch, F.E. & Wiechmann, C.M. (1868). Die oberoligocäne Fauna des Sternberger Gesteins in Meklenburg. Erste Abtheilung. Zeitschrift der Deutschen geologischen Gesellschaft, 20: 543–564, Taf. 12.
- Koenen, A. v. (1868). Das marine Mittel-Oligocan Nord-Deutschlands und seine Mollusken-Fauna. *Palaeontographica Beiträge zur Naturgeschichte der Vorwelt*, **16** (6): 223–295, Taf. 26–30.
- Koenen, A. von (1872). Das Miocaen Nord-Deutschlands und seine Molluskenfauna, Erster Theil. Schriften der Gesellschaft zur Beförderung der gesammten Naturwissenschaften zu Marburg, 10: 137–262, Taf. 1–3.
- KOENEN, A. von (1882). Die Gastropoda holostomata und tectibranchiata, Cephalopoda und Pteropoda des Norddeutschen Miozän. Zweiter Theil von "Das Miocaen Nord-Deutschlands und seine Molluskenfauna". Neues Jahrbuch für Mineralogie, Geologie und Palaeontologie Beilage-Band, 2: 225–368 (incl. Taf. 5–7).
- Koninck, L. de (1837). Description des coquilles fossiles de l'argile de Basele, Boom, Schelle etc. *Nouveaux mémoires de l'Académie royale des sciences et belles-lettres de Bruxelles*, 11: Préface 1–4, 1–37, Taf. 1–4.
- Linnæus, C. (1758). Caroli Linnæi [...] Systema naturæ per regna tria naturæ, secundum classes, ordines, genera, species, cum characteribus, differentiis, synonymis, locis. Tomus I. Editio Decima, Reformata: [1–4], 1–824; Holmiæ (L. Salvius).
- LINNÉ, C. a (1767). Systema naturæ, Tom. I. Pars II. Editio duodecima reformata: 533–1327, [1–37]; Holmiæ (L. Salvius).
- MARQUET, R. (2005). The neogene Bivalvia (Heterodonta and Anomalodesmata) and Scaphopoda from Kallo and Doel (Oost-Vlaanderen, Belgium). *Palaeontos*, **6**: 1–142, Taf. 1–62.
- Moths, H., Albrecht, F. & Stein. G. (2010). Die Molluskenfauna (Hemmoorium, Untermiozän) aus der Kiesgrube Krinke bei Werder (Nordwest-Niedersachsen). *Palaeofocus*, **3**: 1–155.
- Moths, H., Schumacher, D. & Stein, G. (1992). Das große Tertiärgeschiebe von Neetze im Naturmuseum Lüneburg. *Jahrbuch des Naturwissenschaftlichen Vereins für das Fürstentum Lüneburg von 1851 e.V.*, **39**: 165–170.
- Nyst, H. & Westendorp, G.D. (1839). Nouvelles recherches sur les coquilles fossiles de la province d'Anvers. *Bulletin de l'Académie Royale des Sciences et Belles-Lett*res de Bruxelles, **6** – 2^{me} Partie (10): 393–418, Taf. 1–3.
- Nyst, H. (1861). Descriptions succinctes de dix espèces nouvelles de coquilles fossiles du crag noir d'Edeghem, près d'Anvers. *Bulletins de l'Académie Royale des Sciences, des Lettres et des Beaux-Arts de Belgique.* 2^{me} Série, **12** (9/10): 188–197.

- Philippi, R.A. (1843). Beiträge zur Kenntniss der Tertiærversteinerungen des nordwestlichen Deutschlands: I–III, [1], 1–85, Taf. 1–4; Kassel (Th. Fischer).
- Philippi, R.A. (1846–1847). Verzeichniss der in der Gegend von Magdeburg aufgefundenen Tertiärversteinerungen. *Palaeontographica. Beiträge zur Naturgeschichte der Vorwelt*, **1** (1): 42–44 (1846); (2): 45–90, Taf. 7–10, 10a (1847).
- Reuss, A.E. (1867). Die fossile Fauna der Steinsalzablagerung von Wieliczka in Galizien. Sitzungsberichte der Kaiserlichen Akademie der Wissenschaften mathematisch-naturwissenschaftlichen Classe. Abtheilung 1 Mineralogie, Botanik, Zoologie, Anatomie, Geologie, Paläontologie, 55: 17 182, Taf. 1–8.
- ROCHEBRUNE, A.T. DE (1882). Monographie des espèces fossiles appartenant a la classe des Polyplaxiphores. *Annales des Sciences Géologiques*, **14** (1): 1–74, Taf. 1–3.
- SANDBERGER, C.L.F. (1858–1863). *Die Conchylien des Mainzer Tertiärbeckens*: I–V, 1–72, Taf. 1–10 (1858); 73–112, Taf. 11–15 (1859); 113–152, Taf, 16–20 (1860); 153–232, Taf. 21–30 (1861); 233–270, Taf. 31–35 (1862); 271–459, 1 Faltblatt, Register [1–8] (1863); Wiesbaden (C.W. Kreidel's Verlag).
- Schlotheim, E.F. Baron von (1820). Die Petrefactenkunde auf ihrem jetzigen Standpunkte durch die Beschreibung seiner Sammlung versteinerter und fossiler Überreste des Thier- und Pflanzenreichs der Vorwelt erläutert: I–LXII, [1], 1–437, [Taf. 15–29, separat erschienen]; Gotha (Becker'sche Buchhandlung).
- Schulz, W. (2003). Geologischer Führer für den norddeutschen Geschiebesammler: 1–508, Taf. 1; Schwerin (cw Verlagsgruppe).
- Semper, J.O. (1861). *Paläontologische Untersuchungen Erster Theil*: 1–241, [1]; Neubrandenburg (H. Gentz).
- Sowerby, J. de C. (1823–1825). The Mineral Conchology of Great Britain; or Coloured Figures and Descriptions of those Remains of Testaceous Animals or Shells, which have been Preserved at Various Times and Depths in the Earth. Vol. V: 1–64, Taf. 408–443 (1823); 65–138, Taf. 444–485 (1824); 139–168, [Index u. Korrekturen 1–3], Taf. 486–503 (1825); London (R. Taylor).
- Speyer, O. (1884). Die Bivalven der Casseler Tertiär-Bildungen. Abhandlungen zur geologischen Specialkarte von Preussen und den Thüringischen Staaten, 4 (4): I–XII, Taf. 1–31.
- STEIN, G. (2019). Die Gattung *Tritia* Risso, 1826 (Neogastropoda: Nassariidae) im Miozän des Nordseebeckens. *Palaeontos*, **32**: 1–85, Taf. 1–61.
- STEIN, G., MOTHS, H., ALBRECHT, F., HAVEKOST, U. & FEHSE, D. (2016). Revision der miozänen Molluskenfauna (Hemmoorium) von Werder bei Achim (Nordwest-Niedersachsen). *Palaeofocus*, 5: 1–289.

- STEINER, G. & KABAT, A.R. (2001). Catalogue of supraspecific taxa of Scaphopoda (Mollusca). *Zoosystema*, **23** (3): 433–460.
- Tembrock, M.L. (1968). Taxionomisch-stratigraphische Studie zur Scalaspira-Gruppe (Gastropoda, Tertiär). *Paläontologische Abhandlungen Abteilung A Paläozoologie*, **3** (2): 195–322, Taf. 1–18, Beilage: Abb. 1.
- VAN NIEULANDE, F.A.D. & MOERDIJK, P.W. (1999). Europese Glycymerididae Overzicht van de vanaf het Oligoceen in Europa voorkomende Soorten. *De kreu-kel Extra editie* **1999**: 1–27, Taf. 1–28.

Anschriften der Verfasser:

Gerhard Stein Georg-Böhm-Straße 15 21337 Lüneburg gerhard-stein.lg@t-online.de

Detlef Schumacher Eichenbrücker Straße 7 21382 Brietlingen schumacherdetlef1@t-online.de

Herbert Moths Apfelweg 11 21502 Geesthacht